

บทที่ 2

เอกสารและงานวิจัยที่เกี่ยวข้อง

บทนี้กล่าวถึงทฤษฎีเอกสารและงานวิจัยที่เกี่ยวข้องกับงานวิจัยนี้ซึ่งประกอบด้วย
กระบวนการเคลือบฟิล์มบาง การก่อเกิดฟิล์มบาง การเคลือบฟิล์มบางด้วยวิธีสปัตเตอริ่ง
กระบวนการ โกล์วิดิษาร์จ ระบบเคลือบแบบคิชีสปัตเตอริ่ง ระบบเคลือบแบบคิชี เมกนิตรอน
สปัตเตอริ่งระบบเคลือบแบบอันนาลันซ์เมกนิตรอนสปัตเตอริ่งการเคลือบฟิล์มบางด้วยวิธี
รีแอคตีฟสปัตเตอริ่งสมบัติเชิงรังสีของวัสดุการหาดักยณะเฉพาะของฟิล์มบางอุณหภูมิเนื่องในไตรค์
และ งานวิจัยที่เกี่ยวข้อง ซึ่งมีรายละเอียดดังนี้

กระบวนการเคลือบฟิล์มบาง

การเคลือบฟิล์มบาง (Thin Film) ในสัญญาากาศร้อนแก่ทำโดย Bunsen และ Grove
ในปี ค.ศ.1852 โดยพื้นฐานแล้วแนวคิดเกี่ยวกับ การเคลือบในสัญญาากาศหรือการเคลือบฟิล์มบาง
คือ การเรียงตัว (Fabricated) โดยการเคลือบ (Deposition) ของสารเคลือบในลักษณะอะตอมเดียว
บนวัสดุรองรับ (Substrate) จนเกิดเป็นชั้นของฟิล์มที่บางมาก ในระดับนาโนเมตรถึงไมโครเมตร
ซึ่งอาจกล่าวได้ว่า “ฟิล์มบาง (Thin Film) หมายถึงชั้นของอะตอมหรือกลุ่มของอะตอมที่จับรวมกัน
เป็นชั้นบาง ๆ” อย่างไรก็ได้การระบุว่าฟิล์มใดเป็น“ฟิล์มบาง” นั้นอาจพิจารณาได้จากลักษณะการใช้
งานว่าใช้สมบัติด้านใดของฟิล์มกล่าวคือถ้าเป็นการใช้สมบัติเชิงผิว (Surface Properties) จะเรียก
ฟิล์มนั้นว่า “ฟิล์มบาง” แต่ถ้าเป็นการใช้สมบัติเชิงปริมาตร (Bulk Properties) จะเรียกฟิล์มนั้นว่า
“ฟิล์มหนา” ทั้งนี้จะเห็นว่า ฟิล์มเดียวกันนั้นอาจเป็นทั้ง “ฟิล์มบาง” หรือ “ฟิล์มหนา” ได้ขึ้นกับ
ลักษณะการใช้งานเป็นสำคัญ (Bunshah, 1994)

ปัจจุบันมีการนำฟิล์มบางมาประยุกต์ใช้ในงานด้านต่าง ๆ มากมาย เช่นงานด้าน
อิเล็กทรอนิกส์ เช่น สารกึ่งตัวนำ ฟิล์มตัวนำ และฟิล์มตัวด้านทาน หรืองานด้านทัศนศาสตร์ เช่น
เลนส์ กระจกสะท้อนแสง กระจกสะท้อนความร้อน เป็นต้น นอกจากนี้ยังสามารถใช้วิธีการเคลือบ
ฟิล์มบางในการเตรียมสารตัวอย่างสำหรับใช้ในการศึกษาสมบัติทางกายภาพของวัสดุในรูปของ
ฟิล์มบาง ซึ่งสมบัติบางอย่างไม่สามารถวัดได้เมื่ออุปกรณ์สภาพเป็นก้อน (Bulk) เพราะจะนั้นข้อมูล
เหล่านี้มีประโยชน์อย่างมากต่อการพัฒนาวัสดุเพื่อนำไปใช้ในอุตสาหกรรม

การเคลือบฟิล์มบางเป็นกระบวนการที่ทำให้สารเคลือบทกคเคลือบลงบนผิวสครองรับที่ต้องการซึ่งสามารถทำได้ทั้งกระบวนการทางเคมีหรือกระบวนการทางฟิสิกส์โดยพื้นฐานแล้วกระบวนการเคลือบฟิล์มบางมีขั้นตอนสำคัญ 3 ขั้นตอน (Smith, 1995) ดังนี้คือ

1. การสร้างสารเคลือบ (Source) โดยทั่วไปแล้วสารเคลือบอาจอยู่ในรูปของแข็งของเหลว ไอ หรือแก๊ส ก็ได้ แต่สารเคลือบจะทำการเคลือบนันจ้าเป็นต้องอยู่ในรูปของไอระเหยเท่านั้น ซึ่งวิธีการที่ทำให้สารเคลือบถ่ายเป็นไอระเหยสามารถทำได้หลายวิธี เช่น การให้ความร้อนหรือการระดมยิงด้วยอนุภาคที่มีพลังงานสูงเป็นต้น

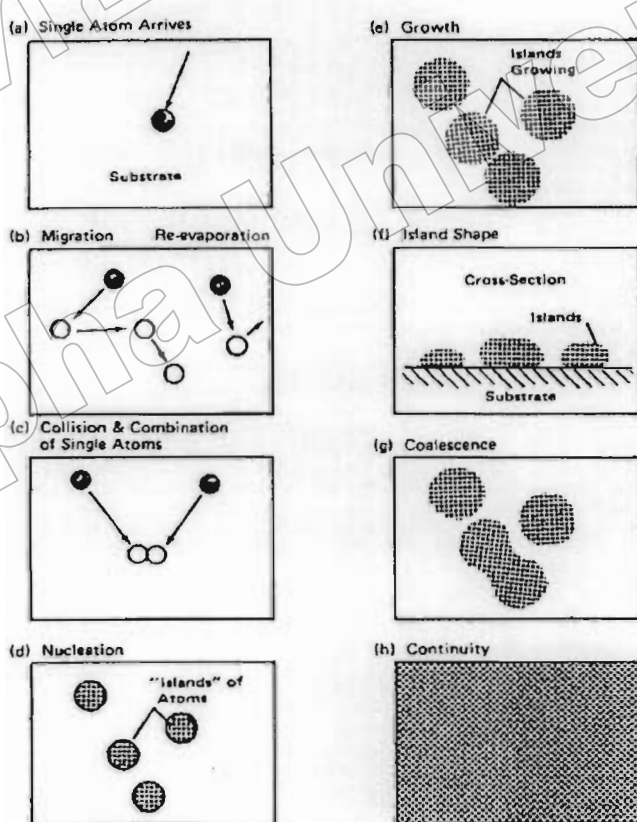
2. การเคลื่อนย้ายสารเคลือบมาอย่างวัสดุคงรับ (Transport) ในภาวะสุญญากาศ ไอระเหยของสารเคลือบอาจจะมีการเคลื่อนที่เป็นเด่นตรง ไปยังวัสดุคงรับ หรืออาจจะเคลื่อนที่ไปในลักษณะของไหหลังจะทำให้ไอระเหยของสารเคลือบมีการชนกับอนุภาคอื่นภายในภาชนะสุญญากาศ นอกจากนี้ไอระเหยอาจจะเคลื่อนที่ไปยังวัสดุคงรับในลักษณะของพลาสม่าได้

3. การสะสมพอกพูน (Deposition) เป็นขั้นตอนการพอกพูนของสารเคลือบและโดยที่อนุภาคเป็นชั้นของฟิล์มบางบนวัสดุคงรับขั้นตอนนี้จะขึ้นกับเงื่อนไขของวัสดุคงรับหรือการทำปฏิกริยาของสารเคลือบกับวัสดุคงรับความสะอาดของผิวสครองรับ ตลอดจนพลังงานที่ใช้ในการเคลือบ

การก่อเกิดฟิล์มบาง

การเกิดฟิล์มบางจากการกระบวนการเคลือบฟิล์มบางในสุญญากาศ Chapman (1980) ได้อธิบายไว้ว่าดังนี้เมื่อสารเคลือบจากแหล่งกำเนิดสารเคลือบเคลื่อนที่มาถึงวัสดุคงรับสารเคลือบที่กระทบผิวสครองรับส่วนใหญ่จะอยู่ในรูปของอะตอมหรือโมเลกุล (ภาพที่ 2-1 (a)) โดยพลังงานพันธะ (Bonding Energy) ระหว่างอะตอมของสารเคลือบกับวัสดุคงรับและอุณหภูมิของวัสดุคงรับจะเป็นตัวกำหนดความสามารถในการแพร่ (Diffusion) ของสารเคลือบบนผิวสครองรับอะตอมของสารเคลือบจะตกลงกระทบผิวสครองรับในตำแหน่งที่เรียกว่าตำแหน่งการดูดจับ (Adsorption Site) ทำให้เกิดการเกาะติดหรือถ้ามีพลังงานมากพอ ก็จะกระโดดข้ามกำแพงพลังงานไปยังบริเวณที่อยู่ติดกันหรือหลุดออกจากตำแหน่งนั้นไป (ภาพที่ 2-1 (b)) ในช่วงเวลาหนึ่งอะตอมสารเคลือบอาจเกิดการระเหยกลับและเกิดการรวมตัวกันระหว่างอะตอมที่มีการแพร่ด้วยกันเมื่ออะตอมของสารเคลือบรวมตัวกันอาจเกิดเป็นอะตอมคู่ (ภาพที่ 2-1 (c)) ซึ่งมีความเสถียรมากกว่าอะตอมเดียว (Single Atom) ซึ่งการรวมตัวกันของอะตอมนั้นจะขึ้นอยู่กับความหนาแน่นของอะตอมเดียวและอัตราเคลือบ (Deposition Rate) อะตอมคู่อาจรวมตัวกับอะตอมเดียวอีกหนึ่งแล้วกลายเป็นสามอะตอม (Triplets) หรือสี่อะตอม (Quadruplets) หรืออื่น ๆ ลักษณะเช่นนี้เรียกว่า

สภาวะการเกิดนิวเคลียส (ภาพที่ 2-1(d)) ทำให้ได้กลุ่มอะตอมกึ่งเสถียร (Quasi-Stable Islands) จากนั้นกลุ่มอะตอมจะเริ่มโตขึ้นเรียกว่าการโตเป็นกลุ่มก้อน (Island Growth) ขนาดของกลุ่มอะตอมจะใหญ่ขึ้น โดยมีจำนวนอะตอมเท่าเดิมหรือเพิ่มขึ้นเล็กน้อย (ภาพที่ 2-1(e) และ 2-1(f)) การโตของกลุ่มอะตอมนี้จะเกิดขึ้นเรื่อยๆ จนกระทั่งขอบของแต่ละกลุ่มอะตอมชนกันเรียกว่าการรวมกันเป็นก้อนของกลุ่มอะตอม (Agglomeration หรือ Coalescence) (ภาพที่ 2-1(g)) จากการศึกษาด้วยเทคนิค Transmission Electron Microscopy (TEM) พบว่าอะตอมกลุ่มรวมกันเป็นก้อนอะตอมจะมีพฤติกรรมคล้ายของเหลว (Liquid-Like Behaviour) และมีการจัดเรียงที่คล้ายในเชิงพลิกวิทยา (Crystallographic Orientation) ด้วยการรวมกันเป็นก้อนของกลุ่มอะตอมจะเกิดขึ้นจนกระทั่งชื่อมต่อ กันอย่างต่อเนื่อง (ภาพที่ 2-1(h)) และในบางกรณีการชื่อมต่อ กันอย่างต่อเนื่องจะเกิดขึ้นได้อย่างสมบูรณ์เมื่อฟิล์มนี้มีความหนาโดยเฉลี่ยประมาณ $0.04 - 0.05 \mu\text{m}$ ลักษณะพิเศษของฟิล์มนางจะเกิดการรวมกลุ่มอะตอมจะคล้ายเนินเขาและหุบเขา



ภาพที่ 2-1 การก่อเกิดฟิล์มนาง (Chapman, 1980)

เมื่อพิจารณาการเกิดฟิล์มในสภาวะที่เป็นกลุ่มอะตอม (Island) พบว่าอาจเป็นกลุ่มของ พลีกเดี่ยวหรือกลุ่มของพลีกคู่หรือมากกว่านั้น ซึ่งกลุ่มอะตอมเหล่านี้จะตกเคลือบลงบนวัสดุรองรับ ที่เป็นวัสดุหลายพลีก ทิศทางการจัดเรียงตัว (Orientation) ของแต่ละกลุ่มอะตอมนั้นจะเป็นแบบสุ่ม (Random) ทำให้ได้ฟิล์มบางที่มีโครงสร้างเป็นหลายพลีกด้วยแต่ถ้ากลุ่มอะตอมเหล่านั้นตกเคลือบ บนวัสดุรองรับที่เป็นพลีกเดี่ยวการจัดเรียงตัวของฟิล์มนี้จะมีลักษณะเป็นพลีกเดี่ยวและเรียกว่าการเกิด ฟิล์มแบบพลีกเดี่ยวประเทกนิวเออพิแทกซี (Epitaxy)

ถ้าอะตอมที่ผิวของวัสดุรองรับมีพลังงานเพียงพอ อะตอมเหล่านี้จะเคลื่อนที่เพื่อเลือก เข้าไปอยู่ในตำแหน่งที่มีพลังงานต่ำกว่าเสมอห้องที่นี่ความสามารถในการเคลื่อนที่ (Mobility) ของ อะตอมจะเพิ่มขึ้นถ้าอุณหภูมิที่ผิววัสดุรองรับสูงขึ้นจากนี้การลดอัตราเคลือบยังสามารถช่วยให้ การโตของพลีกเกิดได้ดียิ่งขึ้น เพราะอะตอมมีเวลาในการโตามากพอดังนั้นถ้าอุณหภูมิของวัสดุ รองรับสูงแล้วอัตราเคลือบต่างๆ ก็จะได้ฟิล์มที่มีขนาดของเกรนใหญ่ขึ้น มีข้อบกพร่องในเกรนน้อยลง และได้ฟิล์มที่มีความหนามากพอสำหรับการเชื่อมต่อ กันอย่างสมบูรณ์ในทางกลับกันถ้าอุณหภูมิ วัสดุรองรับต่ำแต่อัตราเคลือบสูงก็จะให้ผลลักษณะเดียวกัน

การเคลือบฟิล์มบางด้วยวิธีสปีตเตอริง

การเคลือบด้วยวิธีสปีตเตอริง เป็นกระบวนการพอกพูนของชั้นฟิล์มบางที่เกิดจากสาร เคลือบที่ได้จากการวนการสปีตเตอร์ การเคลือบด้วยวิธินี้เกิดขึ้นเมื่ออะตอมของสารเคลือบที่ได้ จากกระบวนการสปีตเตอร์ ร่วงเข้าชนวัสดุรองรับ และมีการพอกพูนและ โอบปืนฟิล์มบางในที่สุด กระบวนการสปีตเตอริงคือการทำให้อะตอมหลุดจากผิวของวัสดุโดยการชนของอนุภาคพลังงานสูง แล้วมีการเปลี่ยนพลังงานและ โน้มน้ามระหว่างอนุภาคที่ร่วงเข้าชนกับอะตอมที่ผิวสารเคลือบ โดยอนุภาคที่ร่วงเข้าชนอาจเป็นกลาทางไฟฟ้าหรือมีประจุก์ได้ และเนื่องจากไอออนที่ได้จาก กระบวนการสปีตเตอร์ในการเคลือบฟิล์มบางด้วยวิธีสปีตเตอริงจะเคลื่อนที่ด้วยความเร็วสูงกว่า วิธีการระเหยสารมากดังนั้นมีอะตอมของสารเคลือบร่วงเข้ากระทบแผ่นวัสดุรองรับก็จะฟังด้วย ลงในเนื้อวัตถุที่ต้องการเคลือบมากกว่าวิธีระเหยสารตั้งนั้น การเคลือบด้วยวิธีสปีตเตอริงจะทำให้ การยึดเกาะระหว่างสารเคลือบกับวัตถุรองรับดีกว่า (พิเชยฐ์ ลิ้มสุวรรณ และธนัสสา รัตน์, 2547; Chapman, 1980)

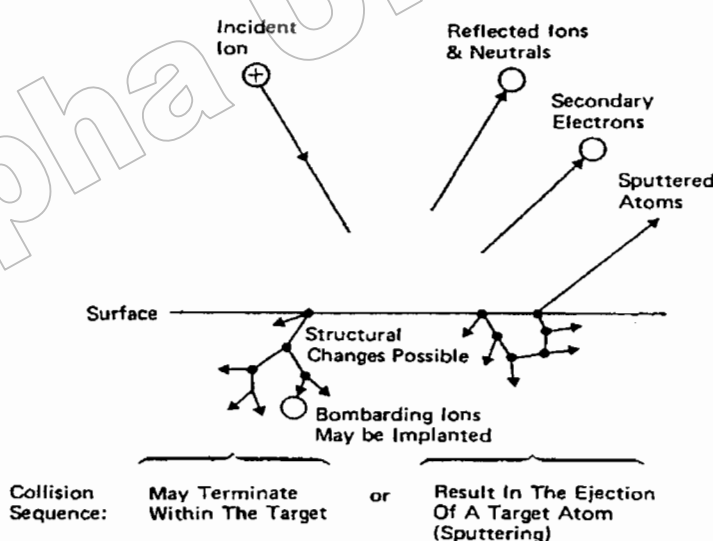
เมื่อผิวน้ำของวัสดุภาระคงยิ่งค้ายอนุภาคพลังงานสูงจะทำให้เกิดการสึกกร่อนและมีอนุภาคที่ผิวน้ำของวัสดุนั้นหลุดมา เนื่องจากการชนของอนุภาคพลังงานสูงกับอนุภาคที่ผิวน้ำวัสดุ ปรากฏการณ์ที่อนุภาคผิวน้ำวัสดุหลุดออกมานี้เรียกว่า สปัตเตอร์ (Sputter) หรือสปัตเตอริง (Sputtering) ปัจจุบันมีการนำมาประยุกต์ใช้อย่างกว้างขวาง เช่น การทำความสะอาดผิวน้ำ (Surface Cleaning) การกัดเซาะ (Etching) การวิเคราะห์ชั้นผิวน้ำของวัสดุ (Surface Layer Analysis) และการเคลือบฟิล์มบาง

สำหรับแนวคิดเบื้องต้นเกี่ยวกับกระบวนการสปัตเตอริง อธิบายได้ดังนี้

1. อันตรกิริยะระหว่าง ไอออนและพิวเป้าสารเคลือบเมื่อ ไอออนพลังงานสูงวิ่งชนผิวน้ำวัสดุจะเกิดปรากฏการณ์ต่าง ๆ ดังแสดงในภาพที่ 2-2 ซึ่งอธิบายได้ดังนี้

1.1 การสะท้อนที่ผิวน้ำของ ไอออน (Reflected Ion and Neutral) ไอออนอาจสะท้อนกลับจากผิวน้ำซึ่งส่วนใหญ่จะสะท้อนออกมายังรูปของอะตอมที่เป็นกลางทางไฟฟ้าอันเกิดจากการรวมตัวกับอิเล็กตรอนที่พิวเป้าสารเคลือบ

1.2 การปลดปล่อยอิเล็กตรอนชุดที่สอง (Secondary Electron Emission) จากการชนของ ไอออนอาจทำให้เกิดการปลดปล่อยอิเล็กตรอนชุดที่สองจากเป้าสารเคลือบถ้า ไอออนนั้นมีพลังงานสูงพอ



ภาพที่ 2-2 อันตรกิริยะระหว่าง ไอออนกับพื้นผิววัสดุ (Chapman, 1980)

1.3 การฝังตัวของไอออน (Ion Implantation) ไอออนที่วิ่งชนเป้าสารเคลือบน้ำอาจฝังตัวลงในสารเคลือบ โดยความลึกของการฝังตัวจะแปรผันโดยตรงกับพลังงานไอออน ซึ่งมีค่า 10 อั้งสตรอม/พลังงานไอออน 1 keV สำหรับไอออนของแก๊สอาร์กอนที่ฝังตัวในทองแดง

1.4 การเปลี่ยนโครงสร้างของผิวสารเคลือบ (Target Material Structural Rearrangements) การชนของไอออนบนผิวสารเคลือบทำให้เกิดการเรียงตัวของอะตอมที่ผิวสารเคลือบใหม่และเกิดความบกพร่องของผลึก (Lattice Defect)

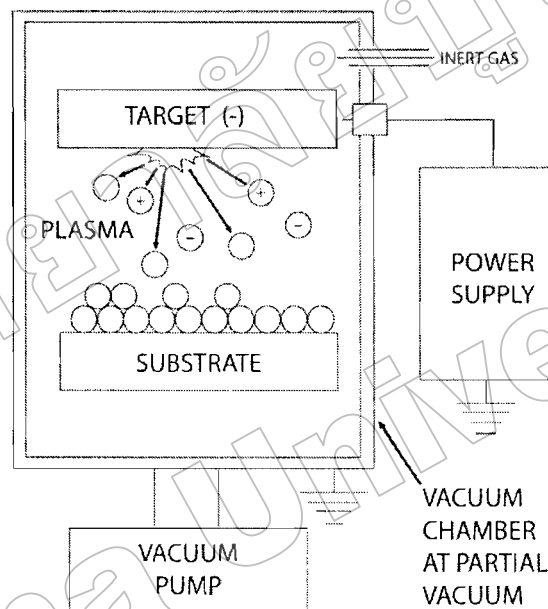
1.5 การสปัตเตอร์ (Sputter) การชนของไอออนอาจทำให้เกิดกระบวนการการชนกันแบบต่อเนื่องระหว่างอะตอมของเป้าอันทำให้เกิดการปลดปล่อยอะตอมจากเป้าสารเคลือบซึ่งเรียกว่ากระบวนการสปัตเตอร์ริง

2. กระบวนการสปัตเตอร์ริงเป็นกระบวนการที่อะตอมผิวน้ำของวัสดุถูกทำให้หลุดออกมากด้วยการชนของอนุภาคพลังงานสูง โดยมีการแลกเปลี่ยนพลังงานและโมเมนตัมระหว่างอนุภาคที่วิ่งเข้าชนกับอะตอมที่ผิววัสดุดังกล่าว กระบวนการนี้อนุภาคที่วิ่งเข้าชนอาจเป็นกลางทางไฟฟ้าหรือมีประจุที่ได้ดึงน้ำสิ่งที่จำเป็นในกระบวนการสปัตเตอร์ริง คือ

2.1 เป้าสารเคลือบ ทำหน้าที่เป็นเป้าให้ออนุภาคพลังงานสูงวิ่งเข้าชนจนมีการปลดปล่อยอะตอมของสารเคลือบลงเคลือบนวัสดุรองรับ

2.2 อนุภาคพลังงานสูง ซึ่งวิ่งชนเป้าสารเคลือบ แล้วทำให้อะตอมของเป้าสารเคลือบหลุดออกมา ปกติอนุภาคพลังงานสูงนี้อาจเป็นกลางทางไฟฟ้า เช่น นิวตรอน หรืออะตอมของธาตุต่าง ๆ แต่การทำให้ออนุภาคที่เป็นกลางมีพลังงานสูงเกิน 10 eV เพื่อใช้ในกระบวนการสปัตเตอร์ริง ทำได้ค่อนข้างยาก วิธีการหนึ่งที่นิยมคือการเร่งอนุภาคประจุภายในไฝฟื้น ซึ่งสามารถควบคุมระดับพลังงานไอออนตามต้องการ อิเล็กตรอนเป็นอนุภาคที่มีประจุนิคหนึ่งที่ผลิตได้ง่ายและสามารถเร่งให้มีพลังงานสูงภายในไฝฟื้นได้ แต่อิเล็กตรอนมีมวลน้อยกว่าอะตอมของสารเคลือบมากทำให้การถ่ายเทพลังงานและโมเมนตัมต่ออะตอมสารเคลือบน้ำเป็นไปได้อย่างไม่มีประสิทธิภาพและไม่สามารถทำให้กระบวนการสปัตเตอร์ริงเกิดขึ้นได้ ตามทฤษฎีทางฟิสิกส์การชนกันระหว่าง 2 อนุภาคที่มีการส่งถ่ายพลังงานและโมเมนตัมดีที่สุดจะเกิดขึ้นเมื่อมวลของอนุภาคทั้งสองมีค่าเท่ากันดังนั้นเราจึงเลือกการเร่งไอออนของก๊าสในสนามไฟฟ้าเป็นอนุภาควิ่งชนเป้าสารเคลือบซึ่งให้อัตราการปลดปล่อยเป้าสารเคลือบสูงเพียงพอ กับความต้องการ

2.3 การผลิตอนุภาคพลังงานสูง อนุภาคพลังงานสูงในระบบสปัตเตอริงนี้จะต้องถูกผลิตขึ้นอย่างต่อเนื่อง เพื่อให้กระบวนการเคลือบสารเกิดขึ้นได้อย่างต่อเนื่องจนได้ความหนาพิเศษตามต้องการ ทั้งนี้สามารถทำได้หลายวิธี เช่นการใช้ด้ามอนุภาคจากปืนไอออนที่มีปริมาณการผลิตไอออนในอัตราสูงหรือผลิตจากการกระบวนการ โกลว์ดิษาร์จ เนื่องจากปืนไอออนมีราคาค่อนข้างสูงและให้ไอออนในพื้นที่แคบ กระบวนการสปัตเตอริงทั่วไปในระดับอุตสาหกรรมจึงนิยมใช้กระบวนการ โกลว์ดิษาร์จในการผลิตอนุภาคพลังงานสูง



ภาพที่ 2-3 ลักษณะของเครื่องเคลือบสุญญากาศด้วยวิธีสปัตเตอริง

3. ค่าyield ของสปัตเตอริง (Sputtering Yield; S) คือค่าเฉลี่ยปริมาณการหลุดของอะตอม เป้าสารเคลือบต่อปริมาณการชนของไอออน 1 อนุภาคมีหน่วยเป็นอะตอมต่อไอออน โดยการวัดค่า yield นี้สามารถทำได้โดยการหนานำหันกหรือความหนาที่ลดลงของเป้าสารเคลือบหรือหาได้จากวัสดุทั้งหมดที่ถูกสปัตเตอร์หรืออาจหาได้จากการตรวจวัดสปัตเตอร์อะตอม (Sputter Atom) ขณะที่ยังฟุ้งกระจาย (พิเชยฐ์ ลิมสุวรรณ และธนัสสถา รัตนะ, 2547) ค่าyield ของกระบวนการสปัตเตอริงจะเปลี่ยนไปตามภาวะต่าง ๆ ดังนี้

3.1 เปลี่ยนแปลงตามพลังงาน ไอออนการชนของอนุภาค 2 อนุภาคในแนวเดียวกัน การถ่ายเทพลังงานระหว่างอนุภาคจะเป็นไปตามสมการที่ 2-1

$$\Delta E = \frac{4mM}{(m+M)^2} \quad (2-1)$$

เมื่อ ΔE	คือพลังงานที่ถ่ายเทระหว่างอนุภาค
m	คือมวลอะตอมที่ถูกชน
M	คือมวลของอะตอมที่วิ่งเข้าชน

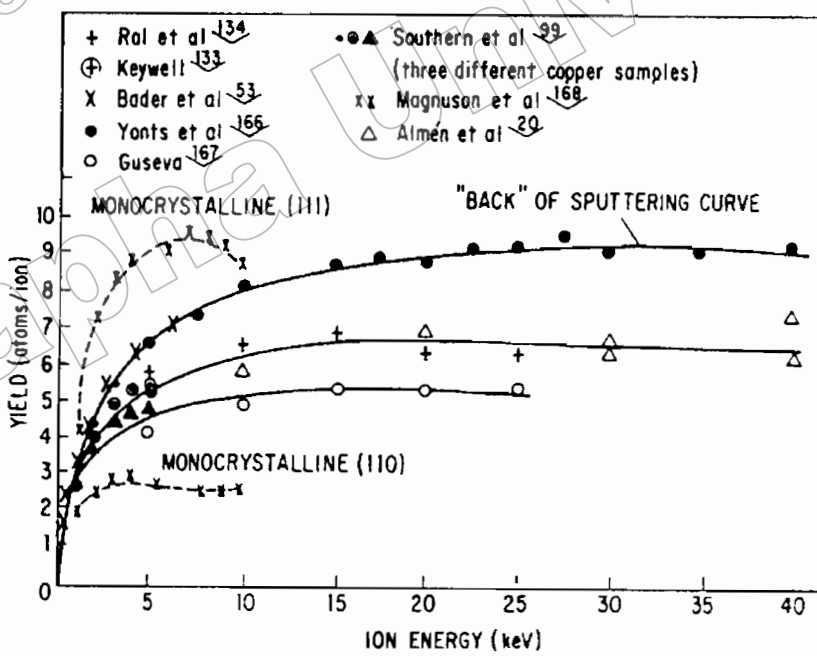
เมื่อพลังงาน ไอออนมีค่าต่ำมากค่าเบ็ดจากกระบวนการสปีดเตอริงจะมีค่าเป็นศูนย์เนื่องจากไม่สามารถเอาชนะแรงขึ้นมาจากการชนของอะตอมบนเป้าสารเคลื่อนได้ เมื่อ ไอออนมีพลังงานสูงขึ้นเกินกว่า $4H$ (H คือค่าพลังงานเฉลี่ยที่ใช้ในการระเหิด 1 อะตอมจากผิวสารเคลื่อน) ถ้าพลังงาน ไอออนสูงมากพอในการทำให้เกิดกระบวนการชนอย่างต่อเนื่องระหว่างอะตอมสารเคลื่อนและเริ่มนึกการปลดปล่อยอะตอมสารเคลื่อนเรียกพลังงานค่านี้ว่าพลังงานขีดเริ่ม (Threshold Energies) ซึ่งเปลี่ยนแปลงไประหว่างค่าการชนของอนุภาค (ตารางที่ 2-1)

เมื่อ ไอออนชนมีพลังงานสูงขึ้นเบ็ดจะเพิ่มขึ้นอย่างรวดเร็วแบบเอ็กซ์โพเนนเชียลในช่วงแรกและเปลี่ยนเป็นการเพิ่มแบบเชิงเส้นจากนั้นจึงมีการอ่อนตัว (Saturation) ของค่าเบ็ด เมื่อพลังงาน ไอออนมีค่าสูงมากทั้งนี้เนื่องจาก ไอออนพลังงานสูงมีโอกาสในการผงด่วนผิวเป้าสารเคลื่อนสูงขึ้นทำให้ลดลงสารเคลื่อนมีค่าคงที่จากนั้นจะมีค่าลดลงเล็กน้อยเมื่อเพิ่มพลังงาน ไอออนให้สูงมากขึ้น ดังแสดงในภาพที่ 2-4

ตารางที่ 2-1 พลังงานปั๊กเริ่มของป่าสารเคลือบชนิดต่าง ๆ (Maissel & Glang, 1970)

	Ne	Ar	Kr	Xe	Hg		Ne	Ar	Kr	Xe	Hg
Be	12	15	15	15	-	Mo	24	24	28	27	32
Al	13	13	15	18	18	Rh	25	24	25	25	-
Ti	22	20	17	18	25	Pd	20	20	20	15	20
C	21	23	25	28	25	Ag	12	15	15	17	-
Cr	22	22	18	20	23	Ta	25	26	30	30	30
Fe	22	20	25	23	25	W	35	33	30	30	30
Co	20	25	22	22	-	Re	35	35	25	30	35
Ni	23	21	25	20	-	Pt	27	25	22	22	25
Cu	17	17	16	15	20	Au	20	20	20	18	-
Ge	223	25	22	18	25	Th	20	24	25	25	-
Zr	23	22	18	25	30	U	20	23	25	22	27
Nb	27	25	26	32	-						

Boldface values are those for which the energy-transfer factor $4m_1m_2/(m_1+m_2)^2$ is 0.9 or higher



ภาพที่ 2-4 ยิลด์ของทองแดงที่ถูกชนด้วยไอออนจากแก๊สอาร์กอนที่พลังงานต่าง ๆ

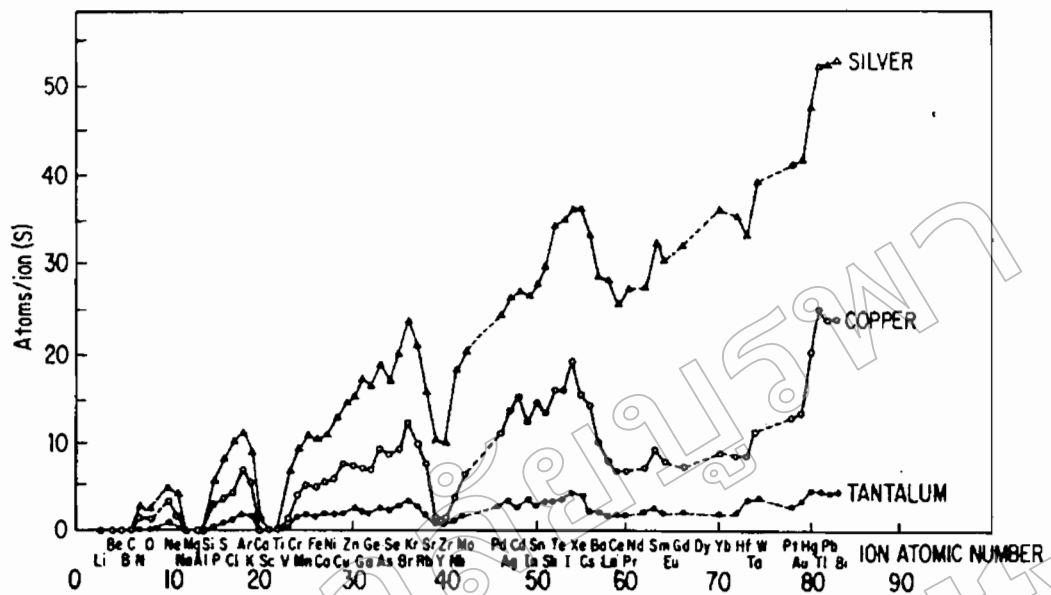
(Maissel & Glang, 1970)

3.2 เปลี่ยนแปลงตามรูรานบพลีกของผิวเป้าสารเคลื่อนจากการทดลองพบว่าเมื่อใช้ เป้าสารเคลื่อนที่เป็นพลีกเดี่ยวค่ายอดจะมีค่ามากที่สุดเมื่อไออกอนชนเป้าในแนวรูรานที่มีอะตอม หนาแน่นที่สุดและมีค่าต่ำในรูรานที่มีอะตอมเบาบางในทองแดงซึ่งมีโครงสร้างพลีกแบบ FCC (Face Centered Cubic) พบว่าการชนบนรูราน (111) ซึ่งมีความหนาแน่นอะตอมสูงสุดค่ายอดจะมี ค่าสูงสุดเมื่อใช้ค่าพลังงานไออกอนในการชนค่าเดียวกันส่วนรูรานที่มีความหนาแน่นอะตอมต่ำ ไออกอนมีแนวโน้มวิ่งฟังค์วิ่งในเป้าสารเคลื่อนมากขึ้น

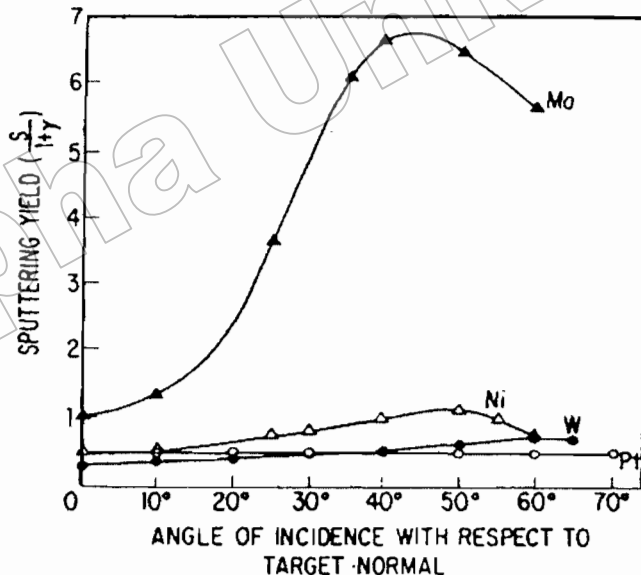
3.3 เปลี่ยนแปลงตามชนิดของไออกอนที่ชนเป้าสารเคลื่อนค่ายอดจากเป้าสารเคลื่อน ชนิดเดียวกันเมื่อใช้ไออกอนต่างชนิดกันวิ่งชนจะมีค่าแตกต่างกันออกไปแม้ส่วนการที่ 2-1 แสดงให้เห็นว่าการถ่ายเทพลังงานระหว่าง 2 อนุภาคที่ชนกันจะมีค่าสูงสุดเมื่อมวลของอะตอมทั้งสองมีค่า เท่ากันแต่อะตอมบนเป้าสารเคลื่อนยึดเกาะกับอะตอมข้างเคียงจึงทำด้วยมีมวลยังผลสูงกว่า มวลของอะตอมเดียวจึงพบว่าค่ายอดมีค่าสูงขึ้นเมื่อใช้ไออกอนที่มีมวลสูงกว่ามวลของอะตอมเป้าสาร เคลื่อนภาพที่ 2-5 แสดงการเปลี่ยนแปลงของค่ายอดพบว่ามีค่าสูงสุดเป็นช่วง ๆ ณ ตำแหน่งที่ใช้ ไออกอนจากแก๊สเฉื่อยเช่นแก๊ส Ne, Ar, Kr, และ Xe ซึ่งเป็นอะตอมที่มีอิเดกตรอนครับ 8 ในวงนอกสุด

3.4 เปลี่ยนแปลงตามมุมตกรอบของไออกอนบนเป้าสารเคลื่อนจากการทดลอง พบว่าเมื่อเพิ่มมุมเอียงของการชนจากไออกอนบนเป้ามากขึ้นยิลเด็จจะมีค่าสูงขึ้นตามมุมที่อียง เนื่องจากอะตอมสารเคลื่อนที่หลุดออกมามาเปลี่ยนจากการกระเจิงกลับ (Back Scattering) เป็น การกระเจิงไปข้างหน้า (Forward Scattering) ซึ่งเป็นกระบวนการที่ต้องการจำนวนครั้งของการชน ระหว่างอะตอมน้อยกว่าทำให้ค่าสูงขึ้นจนถึงจุดหนึ่งซึ่งมีค่าสูงสุดที่องศาการเอียงมากกว่า 45° จากนั้นยิลเด็จจะมีค่าลดลงเมื่อมุมสูงขึ้นและเป็นศูนย์เมื่อมุมเอียงมีค่า 90° โดยขณะนี้พื้นที่การชน เมื่อมองจากไออกอนมีค่าเป็นศูนย์ (ภาพที่ 2-6)

4. ความเร็วและพลังงานของอะตอมที่ถูกสปีดเตอร์หลุดออกจากผิวหน้าเป้าสารเคลื่อน ด้วยวิธีการสปีดเตอร์มีพลังงานตนค่อนข้างสูงและมากกว่าพลังงานของอะตอมที่หลุดออกด้วย วิธีการระเหยสารประมาณ 50 - 100 เท่าอะตอมมีการกระจายพลังงานแบบ Maxwellian โดยที่ พลังงานส่วนใหญ่มีค่าต่ำกว่า 10 eV และอีกส่วนหนึ่งมีพลังงานระหว่าง 10 - 40 eV ถ้าไออกอนที่ใช้มีพลังงานสูงขึ้นพลังงานเฉลี่ยของอะตอมจากสปีดเตอร์จะมีเพิ่มขึ้นและเป้าที่มีค่ายอดสูงมี แนวโน้มทำให้พลังงานเฉลี่ยของอะตอมที่หลุดออกมากมีค่าต่ำเนื่องจากไออกอนที่วิ่งชนเมื่อเฉลี่ย พลังงานให้กับอะตอมที่หลุดออกมาก่อนจำนวนมากอะตอมแต่ละตัวจะรับพลังงานเฉลี่ยจากไออกอน ได้น้อยลง



ภาพที่ 2-5 การเปลี่ยนแปลงค่าyield ของเป้าทองแดง (Cu) , เงิน (Ag) และเทนทาลัม (Ta)
เมื่อใช้ไอออนพลังงาน 45 keV จากธาตุที่มีเลขอะตอมค่าต่าง ๆ (Maissel & Glang, 1970)

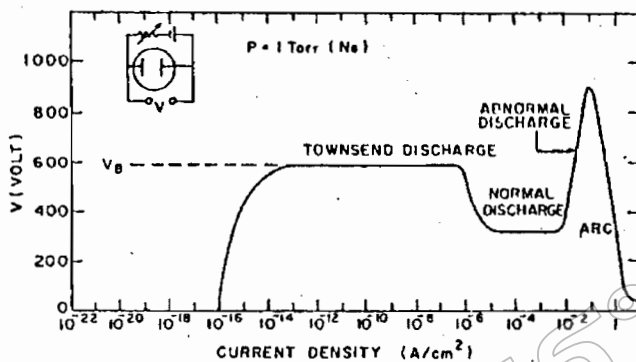


ภาพที่ 2-6 การเปลี่ยนแปลงของyield เมื่อใช้ไอออนของprototh พลังงาน 200 eV ชนเป้านิกเกิล (Ni),
โมลิบดินัม (Mo), ทั้งสตeten (W) และทองคำขาว (Pt) ที่มุ่งการตกรอบทุนค่าต่าง ๆ
(วัดเทียบกับแนวชนตั้งจากบนเป้า) (Maissel & Glang, 1970)

กระบวนการโกลว์ดิสชาร์จ

พิเชญชัย ลิ่มสุวรรณ และธนัสสถา รัตนะ (2547) ได้อธิบายกระบวนการ โกลว์ดิสชาร์จ ไว้ ดังนี้เมื่อปีก่อนแรงดันไฟฟ้ากระแสตรงให้กับขั้วอิเล็กโทรด 2 ขั้ว ที่วางห่างกันเป็นระยะ d ภายใต้ ความดันประมาณ 1.33 mbar ของแก๊สไนโตรอน พนว่าช่วงแรกที่เพิ่มแรงดันทางไฟฟ้าจะมีกระแสไหล ในวงจรน้อยมาก กระแสส่วนนี้เกิดจากการเคลื่อนที่ของอิเล็กตรอนและไอออนของแก๊สที่เกิดขึ้น ตลอดเวลาในบรรยายกาศเนื่องจากการชนของรังสีคือสมิคและถูกเร่งภายใต้สนามไฟฟ้ากระแสนี้จะ มีค่าค่อนข้างคงที่ เพราะอัตราการเกิดประจุขึ้นอยู่กับความเข้มของรังสี เมื่อสักวันไฟฟ้าเพิ่มขึ้นใกล้ค่า แรงดันไฟฟ้าทะลาย (Breakdown Voltage; V_B) พลังงานของประจุที่ถูกเร่งภายใต้สนามไฟฟ้าจะมี ค่าสูงขึ้นจนสามารถ โนมเลกุลของแก๊สทำให้เกิดการแตกตัวเป็นไอ้อนบวกและอิเล็กตรอนซึ่งถูก เร่งภายใต้สนามไฟฟ้าให้มีการชนและเกิดการไอออกในชั้นเพิ่มขึ้น ส่วนของไอ้อนบวกจะถูกเร่งเข้า ชนคาโทด จนเกิดการปลดปล่อยอิเล็กตรอนทุติยภูมิ (Secondary Electron) เวียกระบวนการช่วงนี้ ว่า ท่านเซนต์ดิสชาร์จ (Townsend Discharge)

เมื่อแรงดันไฟฟ้าเพิ่มขึ้นถึงแรงดันไฟฟ้าทะลายจะเกิดกระบวนการคลั่ง (Avalanche) ทำให้ปริมาณไอ้อนบวกวิ่งเข้าชนคาโทดมากขึ้นและมีการปลดปล่อยอิเล็กตรอนทุติยภูมิมากขึ้น ซึ่งจะถูกเร่งให้วิ่งเข้าหาอ่อนดับขณะเดียวกันอิเล็กตรอนทุติยภูมินี้ก็จะมีการชนกับโนมเลกุลของแก๊ส ทำให้เกิดไอ้อนมากขึ้น สุดท้ายไอ้อนบวกที่เพิ่มขึ้นมากขึ้นนี้ก็จะวิ่งเข้าชนคาโทดแล้วเกิดการ ปลดปล่อยอิเล็กตรอนทุติยภูมิเพิ่มขึ้นตามมาด้วย และชนโนมเลกุลแก๊สทำให้เกิดผลิตไอ้อนเพิ่มขึ้น ทำให้กระแสเพิ่มขึ้นอย่างรวดเร็วจนมีปริมาณไอ้อนมากเพียงพอที่จะผลิตอิเล็กตรอนได้ในจำนวน คงที่ ช่วงนี้ระบบสามารถรักษาสภาพดิสชาร์จได้ด้วยตนเองโดยไม่ต้องอาศัยแหล่งกำเนิดจากรังสี ภายนอกในการผลิตไอ้อน ช่วงนี้แก๊สภายในระบบจะเกิดการเรืองแสงขึ้น แรงดันไฟฟ้าระหว่าง อิเล็กโทรดลดลงและกระแสไฟฟ้าเพิ่มขึ้นอย่างรวดเร็วเรียก การเรืองแสงปกติ หรือ นอร์มอล โกลว์ (Normal Glow) สถานะนี้อัตราการปลดปล่อยอิเล็กตรอนทุติยภูมิต่ออัตราการชนของไอ้อน มีค่าค่อนข้างต่ำ คือประมาณ 0.1 สำหรับเป้าคาโทดที่ทำจากวัสดุทั่วไป โดยในช่วงเริ่มต้นของการ เรืองแสงหรือโกลว์ การชนของไอ้อนบนคาโทดจะปรับตัวเองให้เกิดขึ้นในบางบริเวณ แนวการ เรืองแสงอาจเดือนไปมาได้และการชนของไอ้อนบนคาโทด ไม่มีความสม่ำเสมอโดยจะมีความ เข้มของบริเวณการเรืองแสงตามแนวขอบหรือมุมของคาโทดที่มีสนามไฟฟ้าสูงเพื่อรักษาสภาพการ โกลว์ (Self-Sustaining) บางบริเวณไว้ เมื่อกระแสไฟฟ้ามีค่าเพิ่มขึ้นตามแนวการชนของไอ้อนจะ ก่อให้เกิดข่ายตัว เพิ่มพื้นที่จุลทรรศน์ของคาโทด จนกระทั่งมีค่าความหนาแน่นกระแส เท่ากับตลดลงโดยมีค่าแรงดันไฟฟ้าระหว่างขั้วอิเล็กโทรดคงที่

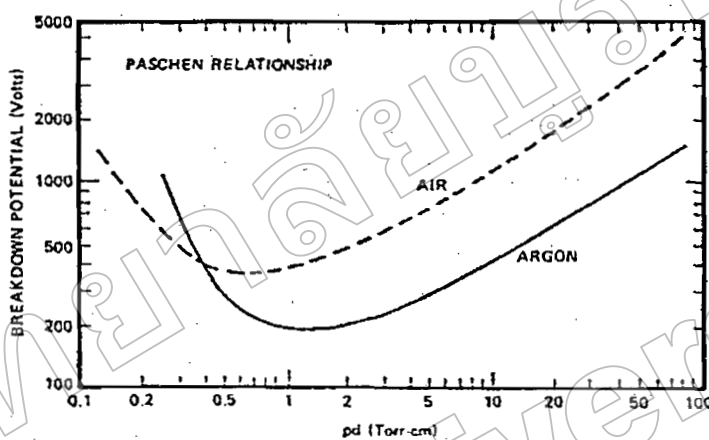


ภาพที่ 2-7 ความสัมพันธ์ของความหนาแน่นกระแสและแรงดันไฟฟ้าระหว่างขั้วอิเล็กโทรดของกระบวนการเกิด ดีซี โกลว์ดิสชาร์จ ในหลอดสูญญากาศบรรจุแก๊สเนื้ออน
(Vossen & Kerns, 1978)

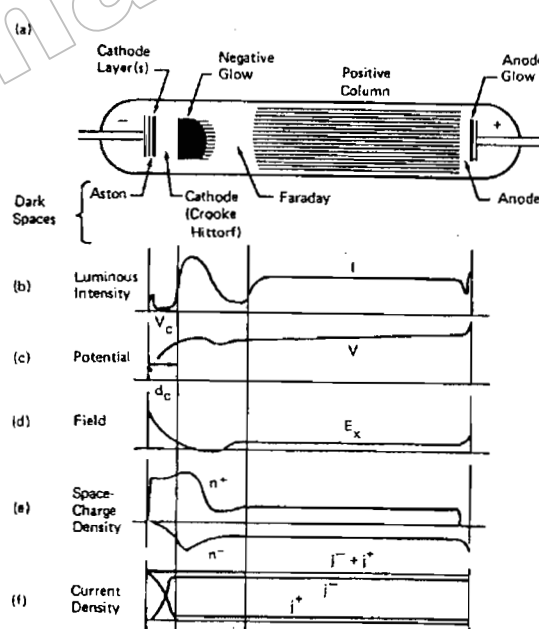
หลังจากการชนของไออ่อนครอบคลุมพื้นที่ทั้งหมดของ cathode แล้ว การเพิ่มกำลังไฟฟ้าเข้าสู่ระบบจะทำให้ห้องแรงดันไฟฟ้าและกระแสไฟฟ้ามีค่าเพิ่มขึ้น เรียกว่า ช่วงการเรืองแสงผิดปกติ เปล่งแสงขึ้น หรือ แอบบันอร์มอล โกลว์ (Abnormal Glow) เป็นช่วงที่ใช้คับระบบสปีตเตอริง และ อีกหลาย ๆ ระบบของการกระบวนการเกี้ยวข้องกับ โกลว์ดิสชาร์จ ช่วงนี้ถ้าไม่รับประทานร้อนให้กับ cathode เมื่อความหนาแน่นของกระแสของ cathode เพิ่มขึ้นสูงประมาณ 0.1 A/cm^2 ความร้อนที่เกิดจาก การชนของไออ่อนบวกบนผิว cathode มีมากขึ้น จนเกิดการปล่อยอิเล็กตรอนแบบเทอร์มิออนิก (Thermionic Electron Emission) เสริมกับการปลดปล่อยอิเล็กตรอนทุติยภูมิและติดตามด้วยกระบวนการถล่มอีกรั้งหนึ่ง ทำให้ความนำไฟฟ้าของแก๊สในระบบสูงขึ้นอย่างรวดเร็ว แรงดันไฟฟ้าระหว่างขั้วอิเล็กโทรดตกลงมากขณะที่กระแสไฟฟ้าเพิ่มสูงขึ้นและเปล่งประกายขึ้น ของ การอาร์ค (Arc Discharge) ภาพที่ 2-7

ค่าแรงดันไฟฟ้าทະลายในกระบวนการ โกลว์ดิสชาร์จจะมีค่าเปลี่ยนแปลงไปกับระยะทาง d ระหว่างอิเล็กโทรดและระยะปลดการชนระหว่างอิเล็กตรอนทุติยภูมิ และ โนเมกุลของแก๊ส (ระยะปลดการชนของอิเล็กตรอนทุติยภูมนิ่น) จึงแปรผกผันกับความดัน และมีค่ามากกว่าระยะปลด การชนของ การชนกันเองระหว่าง โนเมกุลแก๊ส) ปกติอิเล็กตรอนทุติยภูมิแต่ละตัวมีความสามารถในการผลิตไออ่อนบวกได้ระหว่าง 10 ถึง 20 ตัว เพื่อให้เกิดกระบวนการถล่มในช่วงของอร์มอล โกลว์ถ้าความดันต่ำเกินไป (ระยะปลดการชนยาวขึ้น) หรือระยะทาง d มีค่าน้อยเกินไป อิเล็กตรอนทุติยภูมิจะไม่สามารถผลิตไออ่อนได้มากพอ ก่อนการชนกับอิเล็กตรอนทุติยภูมิ ถ้าความดันสูงเกินไป (ระยะปลดการชนสั้นลง) หรือระยะ d มากเกินไป อิเล็กตรอนทุติยภูมิไม่สามารถเพิ่ม พลังงานให้กับตัวเอง ในส่วนไฟฟ้าได้มากพอสำหรับใช้ในการ ไออ่อนซึ่ง เมื่อเกิดการชนพลังงาน

จะถูกถ่ายทอดให้โนเลกุลแก๊สในรูปการกระตุ้น (Excite) ขึ้นไปอยู่ในระดับพลังงานที่สูงขึ้นทำให้ไม่สามารถผลิตไอออกอนบวกได้มากเพียงพอเช่นกัน ดังนั้นห้องส่องกรณีจะต้องใช้แรงดันทางไฟฟ้าเท่ากับค่าอนข้างสูงโดยมีจุดหนึ่งระหว่างนี้ที่ใช้ค่าแรงดันไฟฟ้าเท่ากับค่าความดันตามกฎของปาเชน (Pachen's law) ซึ่งแสดงให้เห็นความสัมพันธ์ระหว่างแรงดันไฟฟ้าเท่ากับความดันแก๊ส (P) และระยะระหว่างอิเล็กโทรด (d) (ภาพที่ 2-8)



ภาพที่ 2-8 ความสัมพันธ์ระหว่างแรงดันไฟฟ้าเท่ากับความดัน (P) และระยะระหว่างอิเล็กโทรด (d) (Bunshah, 1994)



ภาพที่ 2-9 โกลว์ดิสชาร์จของหลอดนีออนยาว 50 cm ที่ความดัน 1.33 mbar (Chapman, 1980)

ในระบบสปีตเตอริงทั่วไปสภาวะของการเกิดโกล์วิดิษาร์จะกระทำในช่วงที่ผลคุณของความดันกับระหบห่างระหว่างอิเล็กโทรด (Pxd) ซึ่งมีค่าต่ำกว่าจุดต่ำสุดของกราฟมาก (เนื่องจาก การเคลื่อนฟิล์มที่ความดันต่ำทำให้ฟิล์มที่ได้มีคุณภาพดีการแทรกตัวของแก๊สในเนื้อฟิล์มน้อยและ ลดปริมาณสารปลอมปนในฟิล์ม) จึงต้องการแรงดันไฟฟ้าเริ่มต้นค่อนข้างสูง บางครั้งจึงมี ความจำเป็นต้องใช้การเพิ่มความดันชั่วขณะเพื่อให้เริ่มการดิษาร์ได้ที่แรงดันไฟฟ้าต่ำ

ส่วนต่อๆ ของกระบวนการโกล์วิดิษาร์ แสดงดังภาพที่ 2-9 โดยช่วงแรกคือ ช่วงมีดแอกตัน (Aston Dark Space) เป็นบริเวณที่อิเล็กตรอนถูกปล่อยจากค่าโโทดด้วยพลังงานต่ำ ประมาณ 1 eV ซึ่งไม่สามารถไอออกไนซ์โนมเลกุลแก๊สได้ ทำให้เกิดเป็นช่วงมีดคลักจากผิวค่าโโทด บริเวณที่มีการเปล่งแสงออกมารück ความเข้มสูงมากเรียกว่า ค่าโโทด โกล์ว (Cathode Glow) เป็น บริเวณที่ไอออกของแก๊สจากการดิษาร์ และไอออกของอะตอนสารเคลื่อนซึ่งถูกผลิตขึ้นบริเวณ ค่าโโทดมีการรวมตัวเป็นกลวงกับอิเล็กตรอนใกล้ผิวค่าโโทดด้วยกระบวนการต่างๆ ทำให้เกิดแสงซึ่ง เป็นความถี่เฉพาะของสารที่ทำค่าโโทดและของแก๊สที่ใช้ เช่น ค่าโโทดเป็นทองแดงจะมีสีเขียว ทองคำมีสีส้มแดง แก๊สอาร์กอนมีสีน้ำเงินฟ้า และแก๊สในไตรเจนมีสีม่วงเป็นต้น

ถัดจากค่าโโทด โกล์วเรียกว่าช่วงมีดครุกหรือช่วงมีค่าโโทด (Crook or Cathode Dark Space) พลังงานของอิเล็กตรอนมีค่าสูงกว่าพลังงานในการไอออกไนซ์โนมเลกุลของแก๊สมีดถูกเร่ง ผ่านสนามไฟฟ้าในระยะปลดคลื่นของอุปกรณ์ ทำให้บริเวณปลดคลื่นไม่มีการไอออกไนซ์เกิดขึ้น จึงไม่เกิดการปลดปล่อยแสงในช่วงนี้และกลไกเป็นบริเวณมีด ถัดจากระยะปลดคลื่นของอุปกรณ์ ทุติยภูมิจะสูญเสียพลังงานส่วนใหญ่โดยการไอออกไนซ์โนมเลกุลแก๊สไอออกของวากที่เกิดขึ้นเคลื่อนที่ ได้ช้ากว่าอิเล็กตรอนมากทำให้ระยะปลดคลื่นของอุปกรณ์มีการสะสมของไออกอนบวกอยู่ มาก (Positive Space Charge) ศักยไฟฟ้าเกือนทั้งหมดลดลงคร่อมบริเวณค่าโโทดดาวร์คสเปชนี้ทำให้ สนามไฟฟ้าบริเวณนี้สูงขึ้นมากและมากเกินพอสำหรับการเร่งอิเล็กตรอนชนและไอออกไนซ์ โนมเลกุลแก๊สในเวลาถัดมาทำให้ภายหลังการเกิดนอร์มอลโกล์ว แรงดันไฟฟ้าที่ต่อกันร่วมกัน ชั่ว อิเล็กโทรดมีค่าลดลงตามกราฟภาพที่ 2-8 ส่วนอิเล็กตรอนเมื่อถูกบริเวณที่ผลิตไออกอนของ ดาวร์คสเปชแล้วจะมีพลังงานลดลง ดังนั้นพลังงานที่เหลือจึงเพียงใช้ในการกระตุ้นโนมเลกุลของแก๊ส และเกิดการเรืองแสงขึ้น แม้อิเล็กตรอนจะเป็นอนุภาคที่เคลื่อนที่ได้เร็วแต่พลังงานที่เหลือน้อยมาก รวมทั้งประจุบวกและประจุลบของไออกอนทางด้านซ้ายมือในบริเวณดาวร์คสเปชทำให้ อิเล็กตรอนใช้เวลาในการเคลื่อนที่ผ่านช่วงเรืองแสงนี้นานขึ้นและเกิดการสะสมประจุลบบริเวณนี้ จึงเรียกว่า เนกาทิฟโกล์ว (Negative Glow)

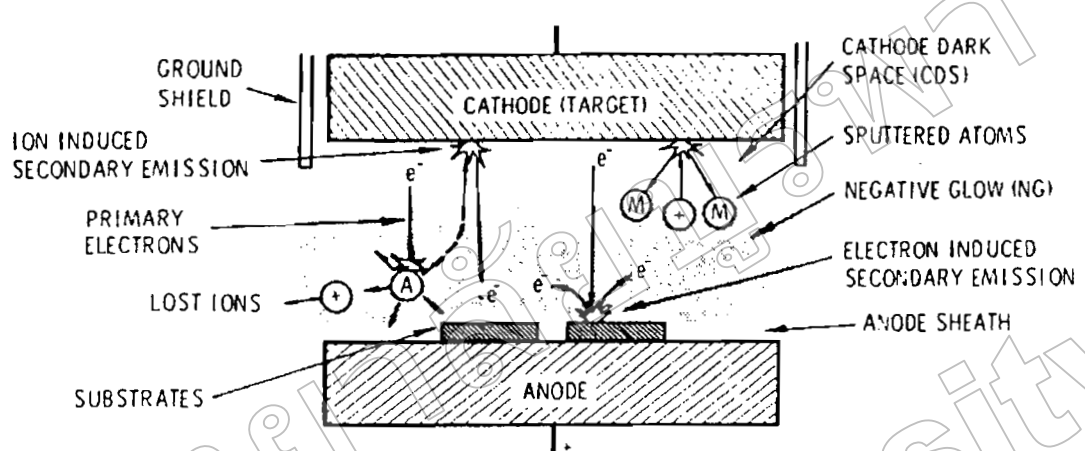
จากนั้นอิเล็กตรอนจะมีพลังงานลดลงจนไม่สามารถกระตุนโมเลกุลแก๊สให้เปลี่ยนไปอยู่ในระดับพลังงานสูงได้ ทำให้เกิดบริเวณมืดอีกช่วงหนึ่งเรียกว่า ช่วงมืดฟาราเดย์ (Faraday Dark Space) ถัดจากช่วงนี้กระบวนการที่เกิดขึ้นคล้ายกับการคิสชาร์ของท่านเซนต์ชั่งมีปริมาณ อิเล็กตรอนค่อนข้างคงที่ถูกเร่งภายใต้สนามไฟฟ้าค่าต่ำๆ ทำให้อิเล็กตรอนถูกเร่งเข้าสู่อาโนด และมีพลังงานสูงพอสำหรับการกระตุนโมเลกุลของแก๊สหรือไออกซ์ไนซ์และเกิดการเรืองแสงขึ้นที่บริเวณนี้อีกรึ่งหนึ่ง อิเล็กตรอนซึ่งเคลื่อนที่เร็วจะถูกความเข้าสู่อาโนดอย่างรวดเร็วทำให้พลาสมาบริเวณนี้มีประจุบวกสูงกว่าจึงเรียกว่า ลำเรืองแสงศักย์ไฟฟ้านวาก (Positive Glow Column)

เนื่องจากการรักษาภาวะโกลว์คิสชาร์ขึ้นกับปริมาณของอิเล็กตรอนที่ถูกผลิตขึ้น บริเวณคาโทดจากการชนของไออกอนที่ถูกผลิตบริเวณนาทีฟโกลว์ จึงพบว่าการเปลี่ยนแปลงตำแหน่งอาโนดเพียงเล็กน้อยจะไม่มีผลต่อกระบวนการโกลว์คิสชาร์ เมื่อเลื่อนอาโนดเข้าหากาโทด จนพื้นช่วงมีดฟาราเดย์เข้าสู่เนกานาทีฟโกลว์นั่งช่วงคาโทดcarคสเปช ทำให้ปริมาณไออกอนที่ถูกผลิตจากอิเล็กตรอนทุกตัวมีปริมาณน้อยลง การรักษาสภาพโกลว์คิสชาร์ไว้ จำเป็นต้องใช้แรงดันไฟฟ้าที่สูงขึ้นซึ่งจะส่งผลถึงปริมาณไออกอนที่ถูกผลิตสูงขึ้นด้วย การโกลว์ในลักษณะนี้จะเรียกว่า օอปสตรัคโกลว์ (Obstructed Glow) และเมื่อเลื่อนอาโนดเข้าใกล้คาโทดต่ำมาจนพื้นของ คาโทดcarคสเปช ซึ่งมีระยะสั้นกว่าระยะปลดออกการชนของอิเล็กตรอน จะไม่มีการผลิตไออกอนเกิดขึ้นและกระบวนการคิสชาร์ไว้ได้ และถ้าหากมีสิ่งสกปรกบริเวณคาโทด การอาจอาจเกิดขึ้นได้โดยไม่เกิดการโกลว์คิสชาร์ก็ได้

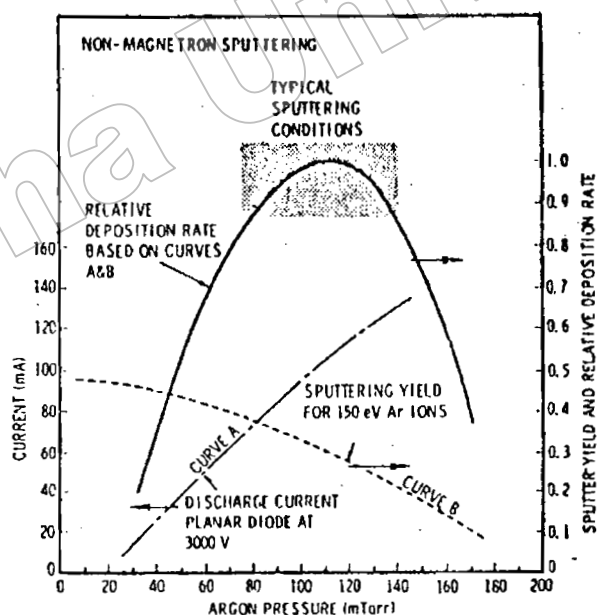
ระบบเคลื่อนแบบดีซี สปีตเตอริง

ภาพที่ 2-10 แสดงระบบเคลื่อนแบบดีซีสปีตเตอริงอย่างง่ายที่สุด (พิเชญฐ์ ลิ่มสุวรรณ และธนัสสา รัตนะ, 2547; Bunshah, 1982; Smith, 1995) ซึ่งประกอบด้วยคาโทดคือแผ่นเป้าสารเคลือบและอาโนด คือ หัวง้วสครูองรับหรือชิ้นงานที่ต้องการเคลือบปกติระยะระหว่างคาโทดและวัสดุครองรับจะอยู่ระหว่าง 4 - 10 cm เพื่อป้องกันการสูญเสียของสารเคลือบที่ผนังของภาชนะ ถัญญาศาสโดยทั่วไประยะcarคสเปชอยู่ระหว่าง 1 - 4 cm โดยอาโนดจะอยู่บริเวณนาทีฟโกลว์ ส่วนอุปกรณ์ทำงานจะอยู่ในช่วงขอบนอร์มอลโกลว์คิสชาร์แก๊สที่ใช้เป็นแก๊สเชื้อชีงให้ยลคสูง และไม่ทำปฏิกิริยา กับสารเคลือบ (ปกติใช้แก๊สอาร์กอน) ขณะเกิดโกลว์คิสชาร์ที่ความดันค่านี้ กระบวนการไออกอนจะรักษาสภาพโกลว์คิสชาร์ไว้ตราบที่ระยะcarคสเปชไม่นักกว่าระยะระหว่างคาโทดและอาโนดเมื่อความดันลดลงหรือแรงดันไฟฟ้าระหว่างอิเล็กโทรดสูงขึ้นระยะปลดออกการชนของอิเล็กตรอนจะสูงขึ้นทำให้ระยะcarคสเปชขยายตัวออกและแหล่งผลิตไออกอนในระบบมีปริมาณต้นน้อยกระಡດลดลงและลดลงที่ถูกสปีตเตอร์มีปริมาณลดลงตามปริมาณของ

ไออ่อนและกระแสไฟฟ้าในระบบที่ความดันต่ำกว่า 10^{-2} mbar ระยะการสเปชจะยาวกว่าระยะระหว่างอิเล็กโทรดและกระแสไฟฟ้าลดลงสู่ศูนย์ทำให้กระบวนการผลิตไออ่อนสิ้นสุดลงและไม่มีอะตอมหลุดออกจากเป้าสารเคลือบเนื่องจากการสปัตเตอร์ออก



ภาพที่ 2-10 ระบบเคลือบแบบ ดีซี สปัตเตอร์ (Bunshah, 1994)



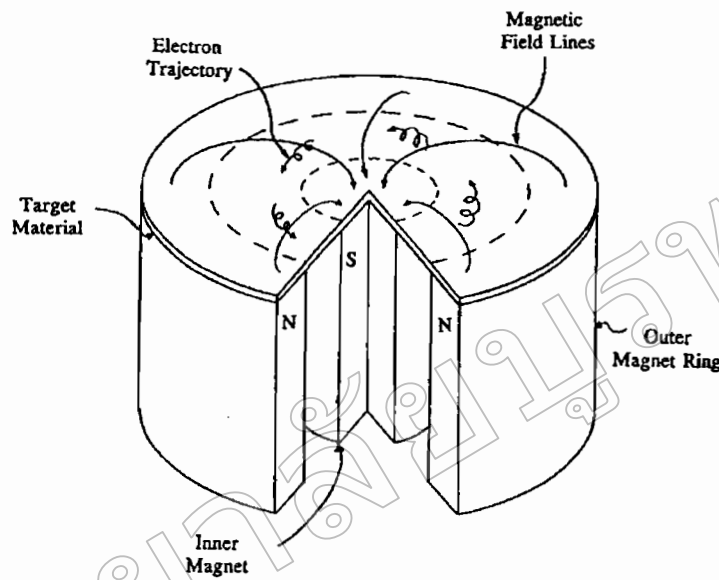
ภาพที่ 2-11 ผลของความดันในระบบที่มีผลต่ออัตราเคลือบค่ายิดค์และกระแสไฟฟ้าในระบบสปัตเตอร์ของนิเกลที่ใช้แรงดันไฟฟ้า 3,000 V ระหว่างขั้วอิเล็กโทรดที่วางห่างกัน 4.5 cm (Vossen & Kerns, 1978)

ขณะที่ความดันสูงขึ้นจะระคายเสียหายสั้นลงบริเวณการผลิตไออกอนมีปริมาณสูงขึ้นกระแสไฟฟ้าที่ไหลในวงจรเพิ่มขึ้นและกระบวนการสปัตเตอริงเกิดขึ้นในอัตราสูงตามความดัน ดังภาพที่ 2-11 เส้นกราฟ A ขณะที่ความดันภายในระบบสูงขึ้นจะลดผลกระทบของการชนระหว่างไมเลกุลของแก๊สมีค่าลดลงอะตอมสารเคลือบที่หลุดออกจากเปลี่ยงส่วนเคลือบนวัสดุรองรับได้มากจากการชนกับไมเลกุลของแก๊สและสะท้อนกลับสู่เปลี่ยงสารเคลือบหรือสูญเสียสูญเสียพังภาชนะ สูญเสียการทำให้ค่าของยีลด์จากการสปัตเตอร์มีค่าลดลงแต่เมื่อความดันสูงขึ้น ดังภาพที่ 2-12 เส้นกราฟ B ผลรวมระหว่างยีลด์และกระแสไออกอนจะทำให้อัตราการเคลือบมีค่าสูงสุดที่ความดันค่าหนึ่งทั้งนี้พบว่าการสปัตเตอร์นิเกลิเมื่อใช้แรงดันไฟฟ้า 3,000 V ระหว่างขั้วอิเล็กโทรดที่ห่างกัน 4.5 cm ในแก๊สอาร์กอนการเคลือบจะหยุดที่ความดันนี้ค่าต่ำกว่า 2.6×10^{-4} mbar และที่ความดันสูงกว่า 1.6×10^{-5} mbar โดยอัตราเคลือบจะมีค่าสูงสุดและลดลงเมื่อความดันสูงเกินค่านี้ดังนั้น บริเวณที่เหมาะสมกับกระบวนการสปัตเตอริงคือบริเวณที่ให้อัตราเคลือบสูงและประสิทธิภาพดีที่สุดจากภาพที่ 2-11 พบว่าความดันที่เหมาะสมสำหรับการเคลือบคือ 1.0×10^{-5} mbar ความหนาแน่นกระแสประมาณ 1.0 mA/cm^2 ด้วยอัตราเคลือบ $0.036 \mu\text{m}/\text{min}$ ซึ่งเป็นอัตราเคลือบที่ค่อนข้างต่ำในขณะที่ใช้แรงดันไฟฟ้าค่อนข้างสูง (พิเชยชัย ลิ้มสุวรรณ และธนสักา รัตนะ, 2547)

ระบบเคลือบแบบ ดีซี แมกนีตรอน สปัตเตอริง

อัตราการเกิดสปัตเตอริงนั้นจะขึ้นกับผลคูณระหว่างยีลด์และปริมาณไออกอนที่ว่างชานเปลี่ยงสารเคลือบดังนั้นการเพิ่มอัตราการสปัตเตอร์นั้นนอกจากจะทำได้โดยการเพิ่มยีลด์แล้วยังทำได้โดยการเพิ่มปริมาณไออกอนที่ว่างเข้าชานเปลี่ยงสารเคลือบซึ่งในระบบดีซีสปัตเตอริงปกตินั้นทำได้เพียงการเพิ่มแรงดันไฟฟ้าระหว่างอิเล็กโทรดหรือเพิ่มความดันซึ่งจะมีขีดจำกัดสูงสุดที่ความหนาแน่นกระแสประมาณ 1 mA/cm^2 และความดันประมาณ 1.33×10^{-5} mbar นอกจากนี้ขั้งพ่าว่าในระบบดีซีสปัตเตอริงทั่วไปจะต้องของแก๊สที่จะเกิดการไออกอนซึ่งมีค่าต่ำกว่า 1% นอกจากนี้ยังมีข้อเสียเมื่อความดันสูงขึ้นจะทำให้ปริมาณแก๊สที่แทรกตัวในฟิล์มนางที่ได้มีค่าสูงด้วย (พิเชยชัย ลิ้มสุวรรณ และธนสักา รัตนะ, 2547)

ต่อมา มีการพัฒนาระบบที่เรียกว่าระบบดีซีแมกนีตรอนสปัตเตอริง (พิเชยชัย ลิ้มสุวรรณ และธนสักา รัตนะ, 2547; Smith, 1995) ซึ่งเป็นการใช้สนามแม่เหล็กช่วยโดยจ่ายสนามแม่เหล็กให้มีทิศทางกับผิวน้ำเปลี่ยงสารเคลือบและมีทิศตั้งฉากกับสนามไฟฟ้าซึ่งจะช่วยเพิ่มระยะทางเดินของอิเล็กตรอนให้ยาวขึ้น โดยจำนวนของสนามแม่เหล็กจะทำให้อิเล็กตรอนเคลื่อนที่เป็นทางโถง (ภาพที่ 2-12) ทำให้การไออกอนนี้องจากการชนระหว่างอิเล็กตรอนกับอะตอมแก๊ส เลื่อนมีค่าสูงขึ้นซึ่งจะทำให้อัตราการสปัตเตอร์สูงขึ้นด้วย



ภาพที่ 2-12 การเคลื่อนที่ของอนุภาคอิเล็กตรอนในสนามแม่เหล็ก (Rickerby & Matthews, 1991)

หัวนี้จากการศึกษาการเคลื่อนที่ของอิเล็กตรอนในสนามแม่เหล็กพบว่าถ้าอิเล็กตรอนมีทิศทางการเคลื่อนที่ตั้งฉากกับสนามแม่เหล็กอิทธิพลของสนามแม่เหล็กจะทำให้อนุภาคประจุนั้นเคลื่อนที่ในแนววงกลม (ภาพที่ 2-13 (a)) ด้วยรัศมี

$$r = \frac{3.37 \sqrt{W}}{B} \quad (2-2)$$

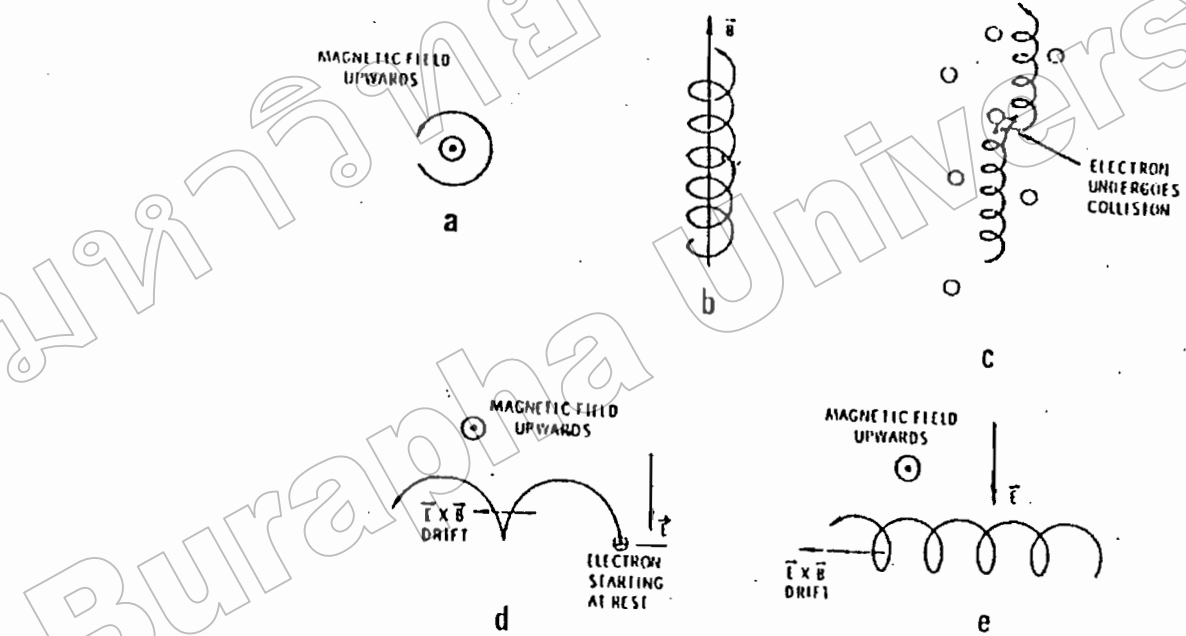
- เมื่อ W คือพลังงานของอิเล็กตรอนในหน่วย eV
 B คือความเข้มสนามแม่เหล็กในหน่วย gauss
 หมุนตัวความถี่ใช้โคลต์рон $v = 2.8 \times 10^6$ Hz

ถ้าพลังงานเฉลี่ยของอิเล็กตรอนในแนวตั้งจากกับสนามแม่เหล็กมีค่า 10 eV และสนามแม่เหล็กมีค่าความเข้ม 100 gauss รัศมีการหมุนมีค่าเท่ากับ 0.1 cm ด้วยความถี่การหมุนเท่ากับ 2.8×10^8 Hz ภาพที่ 2-13 (b) แสดงอิเล็กตรอนมีความเร็วส่วนหนึ่งในแนววน轉กับสนามแม่เหล็ก อิเล็กตรอนจะเคลื่อนที่หมุนวงรอบแนวสนามแม่เหล็กด้วยจำนวนเต็มสองครึ่งที่ค่าหนึ่งระหว่างนี้ ถ้าอิเล็กตรอนชนกับอะตอมแก่สภาพที่ 2-13 (c) แนวการหมุนวงรอบสนามแม่เหล็กจะเปลี่ยนไป

ถ้าอิเล็กตรอนเคลื่อนที่ภายในสนามแม่เหล็กและสนามไฟฟ้าซึ่งมีทิศทางตั้งฉากกันอำนวยของสนามทั้งสองนอกจากจะทำให้อิเล็กตรอนเคลื่อนที่ในแนวโถงแล้วยังสามารถทำให้เกิดการเคลื่อนที่ในแนวตั้งฉากกับสนามแม่เหล็กและสนามไฟฟ้าเรียกว่าการเคลื่อนที่แบบลอยเลื่อน (Drift motion) มีค่าเท่ากับ

$$V_E = \frac{10^8 E}{B} \quad (2-3)$$

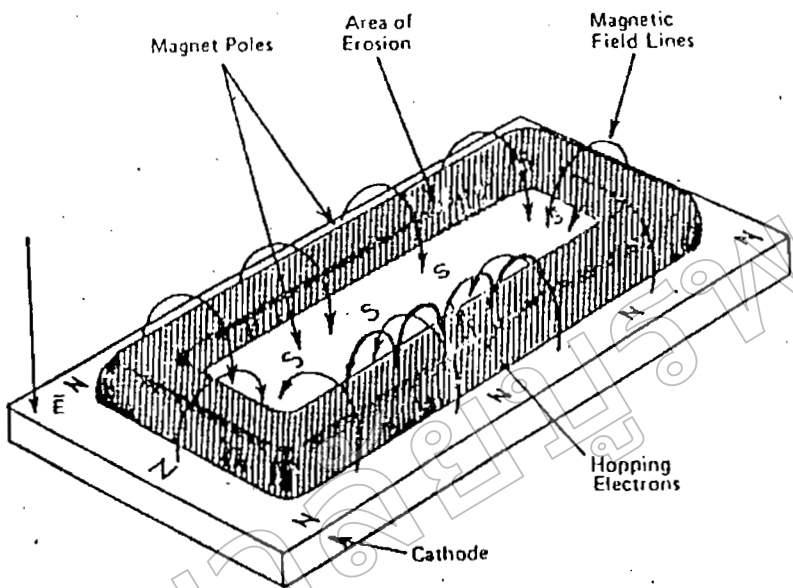
เมื่อ E คือสนามไฟฟ้านวายเป็น V/cm
 B คือความเข้มสนามแม่เหล็กในหน่วย gauss



ภาพที่ 2-13 การเคลื่อนที่ของอนุภาคในสนามต่างๆ โดยที่ a, b, c เป็นการเคลื่อนที่ของอนุภาคประจุในสนามแม่เหล็กอย่างเดียวส่วน d และ e เป็นการเคลื่อนที่ของอนุภาคประจุในสนามแม่เหล็กและสนามไฟฟ้าร่วมกันในลักษณะต่างๆ (Bunshah, 1994)

กรณีสนามไฟฟ้าบริเวณค่ารัศมีค่าประมาณ $1,000 \text{ V/cm}$ และสนามแม่เหล็ก มีค่าประมาณ 100 gauss จะให้ค่าความเร็วของอิเล็กตรอน V_d ที่เท่ากับ 10^7 m/s ซึ่งเป็นค่า ที่ค่อนข้างสูงกรณีพลังงานเริ่มต้นของอิเล็กตรอนมีค่าน้อยเมื่อเทียบกับพลังงานที่ได้รับจาก สนามไฟฟ้าการเคลื่อนที่ของอิเล็กตรอนจะเป็นรูป Cycloid ดังภาพที่ 2-13 (d) ถ้าอิเล็กตรอน มีพลังงานเริ่มต้นสูงกว่าพลังงานที่ได้รับจากสนามไฟฟ้าการเคลื่อนที่แบบลอยเลื่อนจะอยู่ในแนว วงกลมซ้อนกันดังแสดงในภาพที่ 2-13 (e) พฤติกรรมที่ปรากฏต่ออิเล็กตรอนนี้จะเด่นชัดมาก ถึงเมื่อใช้สนามแม่เหล็กมีค่าน้อย ๆ ระหว่าง $50 - 500 \text{ gauss}$ แต่จะมีผลในการเบี่ยงเบนแนวทาง เดินของไอออน (ซึ่งมีมวลสูงกว่าอิเล็กตรอนมาก) อย่างไม่เด่นชัด

ระบบสปีตเตอริงที่ใช้สนามแม่เหล็กช่วยเพิ่มปริมาณ ไอออนนั้นถ้าสนามแม่เหล็ก มีทิศทางขนานกับสนามไฟฟ้าจะเรียกว่าสนามตามยาว (Longitudinal Field) จะทำให้ประสิทธิภาพ การเพิ่ม ไอออนไม่สูงนักแต่เมื่อทำให้แนวการเกิดโกล์วิติชาร์จเปลี่ยนแปลงไปและยังสามารถรักษา ความสม่ำเสมอของพิล์มนบาง ไว้ได้ดีกรณีของสนามแม่เหล็กตั้งฉากกับสนามไฟฟ้าเรียกว่า สนามตามขวาง (Transverse Field) โดยกระบวนการเพิ่มปริมาณ ไอออนคิดขึ้นดังนี้หลังจากที่ ไอออนบวกซึ่งกันเป้าสารเคลื่อนและเกิดการปลดปล่อยอิเล็กตรอนชุดที่สองของมาอิเล็กตรอนชุด ที่สองจะเคลื่อนที่ในลักษณะเดียวกับภาพที่ 2-13 (d) ทำให้อิเล็กตรอนถูกกักอยู่ในบริเวณ สนามแม่เหล็กไกล์โคทและเคลื่อนที่แบบลอยเลื่อนตามแนวผิวน้ำหน้าของค่าโโทด (ภาพที่ 2-14) ทำให้อิเล็กตรอนมีโอกาสชนกับโมเลกุลแก๊สบริเวณผิวน้ำหน้าเป้าสารเคลื่อนมากขึ้นเพิ่มปริมาณ ไอออนสูงมากไกล์พิวน้ำหน้าเป้าสารเคลื่อนของอิเล็กตรอนตัวใดที่ไม่ชนโมเลกุลของแก๊สจะเดินทางเป็นวง โถงเข้าชนเป้าสารเคลื่อนและผลิตอิเล็กตรอนชุดที่สองมากขึ้นเป็นผลทำให้ไอออนถูกผลิตใน ปริมาณสูงมากและเกิดไกล์พิวน้ำหน้าเป้าสารเคลื่อนทำให้เกิดสเปชาร์จากไอออนบวกสูงที่พิวน้ำหน้าของค่าโโทดซึ่งอาจสั้น กว่าระยะปลดและการชนในดีซีสปีตเตอริงที่ความดันใช้งานมากแรงเคลื่อนไฟฟ้าเกือบทั้งหมดจะตก คร่อมบริเวณนี้และมีค่าสนามไฟฟ้าสูงกว่าบริเวณค่ารัศมีค่ารัศมีค่าสูงกว่า $300 - 800 \text{ V}$ ถ้าใช้สนามแม่เหล็กกับแมกนีตอรอนทรงกระบอก จะเรียกว่าแมกนีตอรอนสปีตเตอริงทรงกระบอก (Cylindrical Magetron Sputtering) และถ้าใช้ สนามแม่เหล็กกับระบบดีซีสปีตเตอริงที่ใช้เป้าแบบแผ่นราบจะเรียกว่าพลา нар์แมกนีตอรอน สปีตเตอริง (Planar Magnetron Sputtering)



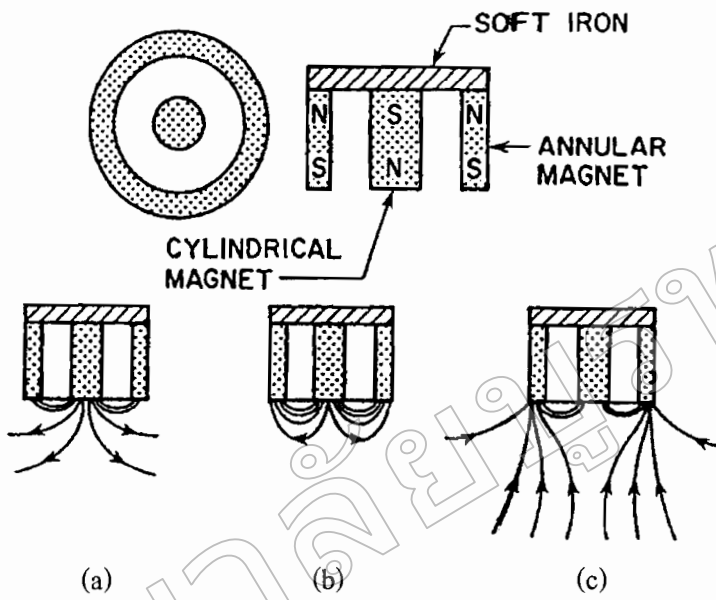
ภาพที่ 2-14 การขัดสนานแม่เหล็กและแนวการกัดกร่อนของปืนสารเคลือบในระบบพลาสม่าแมกนิตรอน สปีตเตอริง (Chapman, 1980)

ประสิทธิภาพการเพิ่มไอออนที่สูงมากในระบบแมกนิตรอนและพลาสม่าที่เกิดขึ้นจะเข้มมากบริเวณปืนสารเคลือบทำให้อัตราการสปีตเตอร์ของระบบนี้มีค่าสูงขณะที่ความดันในระบบจะมีค่าต่ำแรงดันไฟฟ้าระหว่างอิเล็กโตรดมีค่าเกือบคงที่ที่ทุกค่าของอัตราการสปีตเตอร์แมกนิตรอนสปีตเตอริงทรงกระบอกหัวไนมีอัตราการสปีตเตอร์สูงกว่า $1.0 \mu\text{m}/\text{min}$ และมีอัตราเคลือบสูงกว่า $0.2 \mu\text{m}/\text{min}$ ความหนาแน่นกระแสที่ผิวคาดประมาณ $20.0 \text{ mA}/\text{cm}^2$ แรงดันไฟฟ้าระหว่างอิเล็กโตรดมีค่าระหว่าง $300 - 800 \text{ V}$ ที่ความดันประมาณ $5.33 \times 10^{-5} \text{ mbar}$ ประสิทธิภาพการเคลือบสูงขึ้นกว่า 10 เท่าตัวจากนี้ยังสามารถขยายสเกลใช้กับระบบสปีตเตอริงขนาดใหญ่ได้ง่ายเมื่อออกแบบใช้งานร่วมกับไตรโอดสปีตเตอริงระบบสามารถเคลือบได้ที่ความดันต่ำถึง 10^{-5} mbar

ระบบเคลือบแบบ อันนาลานซ์ เมกนิตรอน สปัตเตอริง

ในการเคลือบฟิล์มพบว่า ถ้าระดมยิง ไออ่อนระหว่างการเกิดฟิล์มจะเป็นการเปลี่ยนแปลงฟิล์มหลายอย่าง เช่น พฤติกรรมการเกิดนิวเคลียส (Nucleation Behaviour) สัณฐานวิทยา (Morphology) องค์ประกอบ (Composition) ทิศทางการจัดเรียงตัวและสมบัติเชิงกลเป็นต้น ในกรณีเมกนิตรอนสปัตเตอริง ไออ่อนที่ใช้ในการระดมยิงวัสดุรองรับจะมาจากการประจุไฟฟ้าที่อยู่ร่องวัสดุรองรับซึ่งทำได้โดยการจ่ายศักย์ลงประมาณ 1 - 500 V ให้กับวัสดุรองรับอย่างไรก็ได้ ความหนาแน่นกระแสที่ฟิล์มหรือผิวน้ำของวัสดุรองรับสำหรับระบบดีซีเมกนิตรอนปกติจะมีค่าต่ำประมาณ 0.05 - 0.10 ไออ่อน/อะตอมสารเคลือบ แต่การใช้งานจริงต้องมีค่าสูงกว่านี้ (Rohde & Munz, 1991)

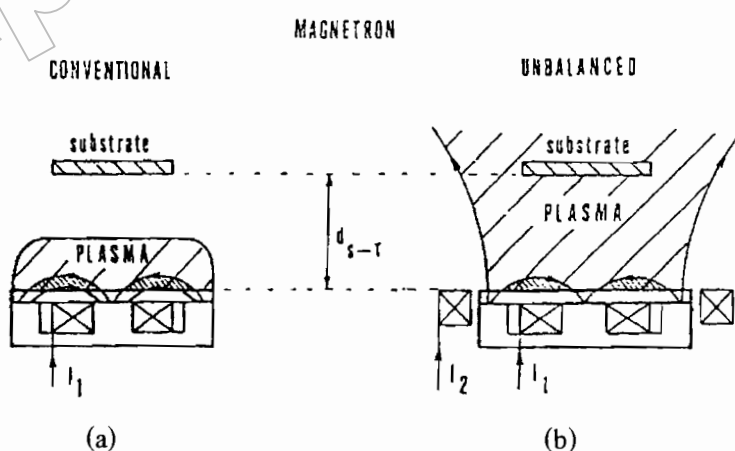
สำหรับการเคลือบแข็ง (Hard coating) ฟิล์มบางที่ต้องการนั้นจะต้องมีช่องว่าง (Voids) ในเนื้อฟิล์มน้อยที่สุดซึ่งจะทำให้ฟิล์มบางที่ได้นั้นมีความทนต่อการกัดกร่อน (Corrosion) และทนต่อการขัดสี (Wear Resistance) มากยิ่งขึ้น โดยการลดช่องว่างในเนื้อฟิล์มนี้สามารถทำได้โดยการเพิ่มความต่างศักย์ไปแอสให้กับวัสดุรองรับแต่ก็จะทำให้เกิดความกันและความบกพร่อง (Defects) ภายในเกรน (Grain) ของฟิล์มมากขึ้นเมื่อความต่างศักย์ไปแอสเพิ่มขึ้นด้วยซึ่งจะทำให้คุณภาพของฟิล์มและการยึดติดของฟิล์มกับวัสดุรองรับลดลงปัญหานี้สามารถแก้ได้โดยการเพิ่มความหนาแน่นของกระแสไออ่อน (อัตราส่วนของ ไออ่อน/อะตอมสารเคลือบ) ซึ่งสามารถทำได้โดยใช้ระบบเคลือบแบบอันนาลานซ์เมกนิตรอนสปัตเตอริง (Unbalanced Magnetron Sputtering) (Rohde & Munz, 1991; Sproul, 1992)



ภาพที่ 2-15 ลักษณะเด่นของแม่เหล็กของระบบอันบาลานซ์ เมกนิตรอน สปีดเตอริง
(Rickerby & Matthews, 1991)

ระบบอันบาลานซ์เมกนิตรอนสปีดเตอริงได้รับการคิดค้นและพิมพ์เผยแพร่โดย Window และ Savvides ครั้งแรกในปี ค.ศ.1986 โดยทั้งสองพบว่าการติดตั้งแม่เหล็กที่ค่าโถดของระบบสปีดเตอริงปกตินั้นถ้าหากทำให้ความเข้มของสนามแม่เหล็กด้านใดด้านหนึ่งมากหรือน้อยกว่าอีกด้านหนึ่งแล้วสนามแม่เหล็กที่ค่าโถดจะมีลักษณะไม่สมมาตรทำให้ปริมาณไออกอนที่วิ่งเข้าชนหรือระคมยิงวัสดุของรับน้ำนมีปริมาณเพิ่มขึ้นมากกว่าปกติซึ่งจะมีผลต่อคุณภาพของฟิล์ม โดยตรงการจัดแม่เหล็กของระบบนี้อาจแบ่งเป็น 3 แบบคือความเข้มสนามของแม่เหล็กที่ด้านในมากกว่าด้านนอก (ภาพที่ 2-15 (a)) หรือกลับกัน (ภาพที่ 2-15 (c)) หรือใกล้เคียงกัน (ภาพที่ 2-15 (b))
ถ้าจัดแม่เหล็กตามภาพที่ 2-15 (a) ไออกอนที่ระคมยิงวัสดุของรับจะมีค่าต่ำ (อัตราส่วนไออกอน/อะตอมสารเคลือบประมาณ $0.25 : 1$) ส่วนการจัดแม่เหล็กตามภาพที่ 2-15 (c) ไออกอนที่ระคมยิงวัสดุของรับจะมีค่าเพิ่มมากขึ้นทำให้อัตราส่วนไออกอน/อะตอมสารเคลือบมีค่าสูงขึ้นคือประมาณ $2 : 1$ (เมื่อใช้ความต่างศักย์ไฟฟ้าต่ำ) ปัจจุบันมีนักวิจัยหลายกลุ่มที่นำแนวคิดนี้ไปประยุกต์ใช้อย่างแพร่หลายซึ่งมีทั้งที่ใช้แม่เหล็กแบบถาวรและแม่เหล็กไฟฟ้าจากการศึกษาของ Musil และ Kadlec ที่ระบบเคลือบใช้อันบาลานซ์พลาโนร์เมกนิตรอนเดี่ยวและคลาดแม่เหล็กไฟฟ้า 2 ชุดเคลือบไทยนาเนียมในไตรด์ที่ระยะเป้าสารเคลือบและวัสดุของรับประมาณ 200.0 mm โดยใช้ความต่างศักย์ไฟฟ้าต่ำและแรงดันห่วง -5 ถึง -100 V พนว่าสามารถทำให้ได้ความหนาแน่นกระแสสูงถึง 6.0 mA/cm^2 ซึ่งสูงมากพอสำหรับใช้ในงานอุตสาหกรรม (Munz, 1991)

หากพิจารณาเปรียบเทียบระบบสปัตเตอริ่งทั้ง 3 ระบบ จะพบว่าในกรณีระบบสปัตเตอริ่งปกตินั้นอิเล็กตรอนที่เกิดจากการไอโอดีนจะวิ่งไปจับที่อะโนดโดยไม่เกี่ยวข้องกับกระบวนการสปัตเตอร์เลยดังนั้นเพื่อให้ระบบสปัตเตอริ่งมีประสิทธิภาพมากขึ้นจึงมีแนวคิดที่จะนำอิเล็กตรอนเหล่านี้เข้ามาช่วยในการกระบวนการสปัตเตอร์ซึ่งทำได้โดยการใช้สนามแม่เหล็กช่วยซึ่งก่อระบบแมgnีตอ่อนสปัตเตอริ่งซึ่งเป็นที่ใช้สนามแม่เหล็กช่วยทำให้เกิดอิเล็กตรอนบริเวณหน้าคาก็ได้เพิ่มขึ้นเนื่องจากอิเล็กตรอนเหล่านี้จะมีส่วนช่วยทำให้กระบวนการสปัตเตอริ่งคงอยู่อย่างต่อเนื่องจากอำนาจของสนามแม่เหล็กจะทำให้อิเล็กตรอนเคลื่อนที่เป็นทางโค้งทำให้เกิดการไอโอดีนในซึ่งจะต้องแก๊สເຂົ້າຍສູງขึ้นนอกจากนี้สนามแม่เหล็กและสนามไฟฟ้าซึ่งทำให้การเคลื่อนที่ของอิเล็กตรอนที่วิ่งเข้าชนเป้าสารเคลื่อนมีลักษณะเป็นการชนแบบซ้ำๆ ต่อเนื่องกันทำให้เกิดอิเล็กตรอนชุดที่สองออกมากในปริมาณมากขึ้นซึ่งทำให้เกิดการสปัตเตอร์มากตามไปด้วยเดียวกันนี้อิเล็กตรอนบางส่วนที่มีพลังงานสูงซึ่งสามารถจะหลุดออกจากอำนาจของสนามแม่เหล็กได้ซึ่งจะวิ่งเข้าหาขั้วอะโนดโดยทันทีสำหรับในระบบอันนาลานซ์แมgnีตอ่อนสปัตเตอริ่งนั้นอิเล็กตรอนพลังงานสูงที่หลุดออกจากสนามแม่เหล็กจะถูกยึดไว้ด้วยเด็นเรงแม่เหล็กส่วนเกินของระบบแล้วเคลื่อนที่เป็นทางโค้งไปตามเด็นเรงแม่เหล็กเข้าชนกับอะตอนของแก๊สເຂົ້າຍและเกิดการไอโอดีนในซึ่งเป็นพลาสม่าชุดที่สองบริเวณผิวน้ำของวัสดุรองรับทำให้ความหนาแน่นกระแสที่วัสดุรองรับมีค่าสูงมากกว่าในระบบแมgnีตอ่อนสปัตเตอริ่งปกติมาก (ประมาณ $5.0 - 10.0 \text{ mA/cm}^2$ ปกติมีค่าน้อยกว่า 1.0 mA/cm^2) โดยพลาสม่าที่เกิดขึ้นนี้จะมีส่วนช่วยในการเคลื่อนฟิล์มที่เรียกว่า Ion-Assisted Deposition ซึ่งจะให้ฟิล์มบางที่ได้นั้นมีความหนาแน่นสูงและมีการยึดติดคีมิก (Munz, 1991)



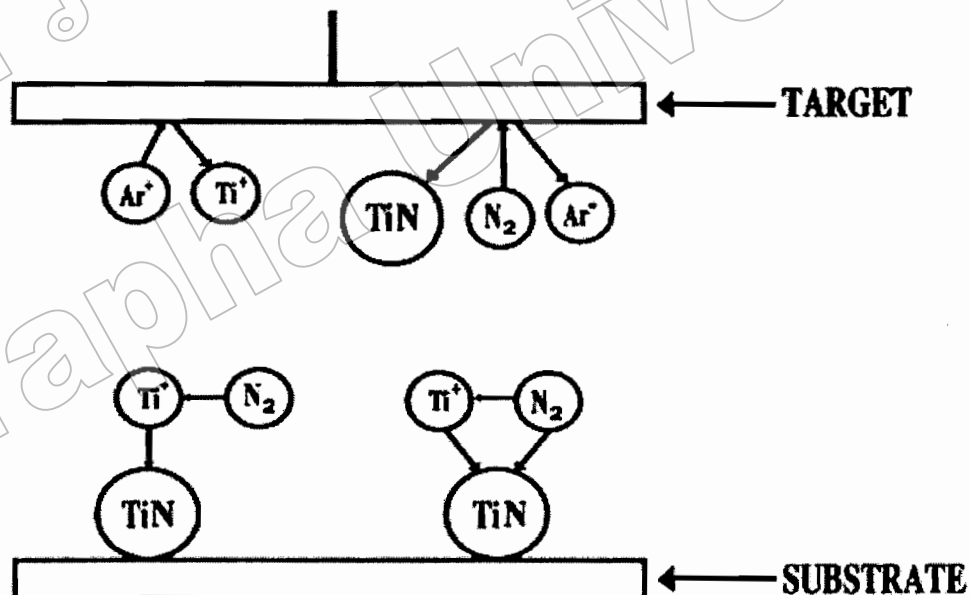
ภาพที่ 2-16 ลักษณะพลาสมาระบบที่สปัตเตอริ่ง (Munz, 1991)

(a) ระบบนาลานซ์แมgnีตอ่อนสปัตเตอริ่ง

(b) ระบบอันนาลานซ์แมgnีตอ่อนสปัตเตอริ่ง

การเคลือบฟิล์มบางด้วยวิธี รีแอคตีฟส ปั๊ตเตอริง

สำหรับกระบวนการรีแอคตีฟสปั๊ตเตอริง (Reactive Sputtering) มติ ห่อประทุม (2548) ได้อธิบายไว้ว่าเป็นกระบวนการสปั๊ตเตอริงที่มีการป้อนแก๊สไวปั๊กิริยา (Reactive Gas) เข้าสู่ระบบ เพื่อให้เกิดสารประกอบของฟิล์มตกลงกันบนชั้นงานหรือวัสดุรองรับการสปั๊ตเตอร์ที่มีเป้าสาร เคลือบเป็นโลหะบริสุทธิ์ โดยการป้อนแก๊สไวปั๊กิริยา จะทำให้เกิดสารประกอบต่างๆ ของโลหะ ได้ เช่น การป้อนแก๊สในไตรเจนอาจทำให้เกิดโลหะในไตร์ถ้าป้อนแก๊สอะเซทิลีน (C_2H_2) หรือ มีเทน (CH_4) อาจเกิดเป็นสารประกอบของโลหะcar ไปด้วย เป็นต้น โดยปกติความดันแก๊สไวปั๊กิริยา ที่ใช้ค่อนข้างต่ำจนไม่เพียงพอต่อการเกิดปั๊กิริยาในสภาพปกติอย่างไรก็ตามคาดกันว่าอิเล็กตรอน ในพลาสมาที่มีส่วนในการกระตุ้นหรือไอออกไซซ์แก๊สไวปั๊กิริยาให้มีความสามารถในการทำปฏิกิริยากับโลหะได้สูงกว่าสภาพปกติ โดยแก๊สไวปั๊กิริยา เช่น แก๊สในไตรเจน (N_2) อาจรวมตัวกันกับโลหะ เช่น ไททาเนียม (Ti) และเกิดเป็นสารประกอบไททาเนียมในไตร์ (TiN) ตามภาพที่ 2-17 ได้เป็น 3 ลักษณะดังนี้



ภาพที่ 2-17 การเกิดปฏิกิริยาร่วมตัวกันเป็นสารประกอบระหว่างแก๊สไวปั๊กิริยา กับอะตอม เป้าสารเคลือบในบริเวณต่างๆ (มติ ห่อประทุม, 2548)

1. แก๊สไวป์กิริยา เช่นแก๊สไนโตรเจนทำปฏิกิริยากับอะตอมไททาเนียมที่ผิวน้ำเป้าของสารเคลื่อนกล้ายเป็นสารประกอบไททาเนียมในไตรด์แล้วถูกสปิตเตอร์ให้หลุดออกแล้ว ตกเคลื่อนลงบนแผ่นวัสดุรองรับ ปฏิกิริยาส่วนนี้เกิดขึ้นสูงเมื่อความดันย่อยของแก๊สไวป์กิริยาในระบบมีค่าสูง พบว่า ในการเคลื่อนไททาเนียมในไตรด์บนพิล์มเคลื่อนที่ เป้าสารเคลื่อน ส่วนที่มีอัตราการสปิตเตอร์ต่ำจะปรากฏพิล์มของสีทองไททาเนียมบริเวณนั้น ปรากฏการณ์เรียกว่า Target Poisoning มีผลทำให้อัตราการเคลื่อนลดลง

2. แก๊สไวป์กิริยา เช่นแก๊สไนโตรเจนรวมตัวกับอะตอมไททาเนียมที่ถูกสปิตเตอร์ในระหว่างทางวิ่งสู่แผ่นวัสดุรองรับแล้วตกลเคลื่อนบนแผ่นวัสดุรองรับ กระบวนการนี้ในทางทฤษฎีถือว่าเกิดได้น้อยมากเนื่องจากสภาวะของการทำปฏิกิริยาไม่เหมาะสมตามกฎอนุรักษ์พลังงานและไม่มีเอนตัม แต่เป็นไปได้ที่การรวมตัวของสารประกอบจะเกิดในช่วงนี้

3. แก๊สไวป์กิริยา เช่นแก๊สไนโตรเจนรวมตัวกับไททาเนียมบนผิววัสดุรองรับหรือชิ้นงาน การทำรีแอคติฟสปิตเตอริง โดยทั่วไปความดันแก๊สไวป์กิริยาที่เหมาะสมต่อการเกิดสารประกอบที่ต้องการมีค่าต่ำกว่าช่วงที่เกิดขบวนการ โกลว์ดิษาร์จ ในกระบวนการจึงใช้แก๊สไวป์กิริยา กับแก๊สเชื้อเพลิงทำให้รักษาสภาวะ โกลว์ดิษาร์จ ไว้ได้ ในเวลาเดียวกันช่วยให้อัตราเคลื่อนสูงขึ้น ในการทำรีแอคติฟสปิตเตอริง ยังมีสิ่งที่ต้องคำนึงถึงคือความดันย่อยของแก๊สไวป์กิริยาต้องมีค่าพอเหมาะสมกับการเกิดพิล์มสารประกอบที่ต้องการ เช่น การเคลื่อนสารประกอบ Ferroferric Oxide (Fe_3O_4) ความดันแก๊สออกซิเจนที่ใช้ในรีแอคติฟสปิตเตอริง ถูกจำกัดในช่วงความดันแก๊ส มาก ถ้าความดันย่อยของแก๊สออกซิเจนมากไปจะเกิดสารประกอบของ Ferric Oxide (Fe_2O_3) ถ้าน้อยเกินไปจะเกิดสารประกอบ Ferrous Oxide (FeO) หรือพิล์มของเหล็ก (Fe)

สมบัติเชิงรังสีของวัสดุ

เมื่อรังสีของแสงตกกระทบผิวน้ำของวัสดุจะเกิดปรากฏการณ์ทางฟิสิกส์ต่าง ๆ ที่เกี่ยวข้องกับสมบัติทางแสงของวัสดุดังนี้ (Haitjema, 1989; ไชยรัตน์ สุรินทร์, 2536)

1. การคูคูกลืนการส่งผ่านแสงและซ่องว่างพลังงานค่าการคูคอกลืนแสงและการส่งผ่านแสงของวัสดุจะขึ้นอยู่กับซ่องว่างพลังงาน (Energy Gap; E_g) และความสามารถที่จะจัดเรียงสารในสารกึ่งตัวนำเพื่อทำให้เกิดอิเล็กตรอนในแถบการนำ (Conduction Band) และ ไฮดราตาในแถบวาเลนซ์ (Valence Band) พิจารณาค่าซ่องว่างพลังงานของวัสดุที่เป็นตัวกำหนดค่าการคูคอกลืนและการส่งผ่าน โดยที่การเปลี่ยนสภาพจากวัสดุไปร่วมแสงมาเป็นสภาพคูคอกลืนนั้น เกิดขึ้นเมื่ออิเล็กตรอนของวัสดุคูคอกลืนพลังงานแสงและเปลี่ยนสภาพจากพลังงานแถบวาเลนซ์ไปเป็นแถบการนำทำให้เกิดไฮดราตาขึ้นในแถบวาเลนซ์ เรียกการเปลี่ยนแปลงระดับพลังงานนี้ว่า Interband Transition อิเล็กตรอนในแถบการนำจะประพฤติตัวคล้ายอิเล็กตรอนอิสระซึ่งจะส่งผลต่อค่าการสะท้อนแสงวัสดุดังกล่าวนี้จะทึบแสงที่ค่าพลังงานนั้น แต่ถ้าค่าซ่องว่างที่เข้ามานั้นมีพลังงานไม่เพียงพอที่จะทำให้อิเล็กตรอนของวัสดุเปลี่ยนสภาพจากแถบวาเลนซ์ไปเป็นแถบการนำ วัสดุดังกล่าวก็จะยอมให้ค่าซ่องว่างที่มีพลังงานไม่เพียงพอนั้นผ่านไปได้ นั่นคือวัสดุจะไปร่วมแสง ความยาวคลื่นแสงของจุดเปลี่ยนสภาพ (Threshold Wavelength, λ_g) และค่าซ่องว่างพลังงานจะมีความสัมพันธ์กันตามสมการที่ 2-4

$$\lambda_g (\mu m) = \frac{hc}{E_g} = \frac{1.24}{E_g (eV)} \quad (2-4)$$

เมื่อ λ_g คือความยาวคลื่นแสงที่จุดเปลี่ยนสภาพ (μm)

E_g คือค่าซ่องว่างพลังงาน (eV)

พิจารณาวัสดุที่มีค่า E_g ตั้งแต่ 1.6 eV ลงมา จากความสัมพันธ์ตามสมการจะได้ค่าของ λ_g ตั้งแต่ 0.78 μm ขึ้นไป วัสดุดังกล่าวจะทึบตื้อแสงที่ตามองเห็นทั้งหมด ส่วนวัสดุที่มีค่า E_g ตั้งแต่ 3.3 eV ขึ้นไปจะได้ค่าของ λ_g ตั้งแต่ 0.37 μm ลงมา วัสดุดังกล่าวจะไปร่วมแสงตื้อแสงที่ตามองเห็นทั้งหมด ผลของค่าซ่องว่างพลังงานดังกล่าวจึงมีความสำคัญต่อการศึกษาวัสดุต่าง ๆ เพื่อนำไปประยุกต์ใช้ ให้เป็นประโยชน์ต่อไป

2. สัมประสิทธิ์การคูณคลื่นพิจารณาสนามไฟฟ้าที่เคลื่อนที่ในทิศ Z มีอิเล็กทริกิตี้เพลส เมนต์ในทิศ X เขียนเป็นสมการได้ดังนี้

$$\vec{E} = E_x e^{i(\omega t - \tilde{k}Z)} \quad (2-5)$$

เมื่อ E_x คือ แอมป์ลิจูดของสนามไฟฟ้า

ω คือ ความถี่เชิงมุมของคลื่น ($\omega = 2\pi f$)

\tilde{k} คือ เลขคลื่นเชิงซ้อน (Complex Wavenumber)

t คือ เวลา

i คือ จำนวนเชิงซ้อน ($i^2 = -1$)

จากสมการแมกнетิก สามารถเขียนสมการของเลขคลื่นเชิงซ้อนได้เป็น

$$\tilde{k} = \left(\frac{\omega}{c} \right) \sqrt{\mu \tilde{\epsilon}} \quad (2-6)$$

เมื่อ μ คือ ค่าความซึบซาบทางแม่เหล็ก (Magnetic Permeability)

$\tilde{\epsilon}$ คือ สภาพย้อมทางไฟฟ้าเชิงซ้อนสัมพัทธ์

(Complex Relative Dielectric Permittivity)

c คือ ความเร็วคลื่น

ค่าของ $\tilde{\epsilon}$ จะขึ้นกับความยาวคลื่นแม่เหล็กไฟฟ้า และมีอิทธิพลต่อการตอบสนอง การเปลี่ยนแปลงสนามแม่เหล็กของวัสดุ ตามสมการที่ 7

$$\vec{D} = \epsilon_0 \tilde{\epsilon} \vec{E} \quad (2-7)$$

เมื่อ ϵ_0 คือ สภาพย้อมทางไฟฟ้าในสุญญากาศ (Vacuum Permittivity)

นอกจากความสัมพันธ์ดังกล่าวแล้ว กรณีวัสดุที่เป็นตัวนำ $\tilde{\epsilon}$ จะมีความสัมพันธ์กับ
ดัชนีหักเหเชิงช้อน (Complex RefractiveIndex, \tilde{n})

$$\tilde{\epsilon} = \tilde{n}^2 \quad (2-8)$$

$$\text{โดยที่} \quad \tilde{n} = n - ik \quad (2-9)$$

เมื่อ n คือ ดัชนีหักเห (Refractive Index)

k คือ สัมประสิทธิ์การดับสนญ (Extinction Coefficient)

ค่า n และ k จะขึ้นกับความยาวคลื่นของแม่เหล็กไฟฟ้า นำสมการที่ 2-6 ถึง 2-9 แทนใน
สมการที่ 2-5 จะได้ความสัมพันธ์ใหม่เป็น

$$\vec{E} = E_x e^{i\left(\frac{\omega t - \frac{\omega}{c}nz}{c}\right)} e^{-\frac{\omega}{c}kz} \quad (2-10)$$

เนื่องจากความเข้มจะเปลี่ยนตามกำลังสองของสนามไฟฟ้า ดังสมการที่ 2-11

$$I_{(z)} = |\vec{E}|^2 \quad (2-11)$$

$I_{(z)}$ เป็นความเข้มสนามไฟฟ้าที่ตำแหน่งจากผิววัสดุถึงลงไป z โดยที่ $z = 0$ จะได้

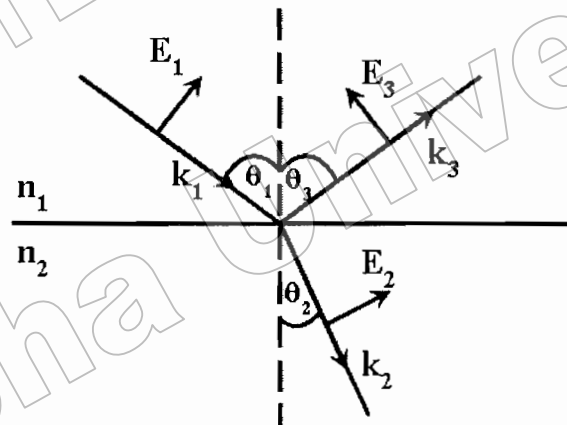
$$I_{(z)} = I_{(0)} e^{-2kz\frac{\omega}{c}} \quad (2-12)$$

$$\text{โดยที่} \quad \alpha = \frac{2k\omega}{c} = \frac{4\pi k}{\lambda} \quad (2-13)$$

ค่า α เป็นสัมประสิทธิ์การดูดคลื่น (Absorption Coefficient) เป็นสมบัติของวัสดุที่แสดงถึงการลดthonความเข้มของคลื่นแม่เหล็กไฟฟ้า ระยะทางหรือความลึกจากผิวของวัสดุที่ทำให้ความเข้มของคลื่นแม่เหล็กไฟฟ้าลดลงเป็น $\frac{1}{e}$ เท่าของค่าเดิมเรียกว่า ความลึกผิว (Skin Depth; δ) ซึ่งเป็นส่วนกลับของสัมประสิทธิ์การดูดคลื่นมีสมการเป็น

$$\delta = \frac{1}{\alpha} = \frac{c}{2k\omega} = \frac{\lambda}{4\pi k} \quad (2-14)$$

3. การส่งผ่านและการสะท้อนคลื่นแม่เหล็กไฟฟ้าที่รอยต่อของวัสดุกรอบเมื่อรอยต่อวัสดุ 2 ชนิด ที่มีดัชนีหักเหต่างกัน เมื่อคลื่นแม่เหล็กไฟฟ้าตกรอบทบทรอยต่อระหว่างวัสดุดังกล่าว แสดงดังภาพที่ 2-17



ภาพที่ 2-18 เส้นทางของคลื่นแม่เหล็กไฟฟ้าที่ผ่านรอยต่อของวัสดุ 2 ชนิดที่มีดัชนีหักเหต่างกัน (Haitjema, 1989)

พิจารณาการเคลื่อนที่ของคลื่นแม่เหล็กไฟฟ้าจะพบว่าที่รอยต่อของวัสดุจะมีเพลิงของคลื่นตกรอบ คลื่นสะท้อน และคลื่นส่งผ่าน เท่ากัน สามารถอธิบายได้ดังสมการที่ 2-15

$$k_1 \sin(\theta_1) = k_2 \sin(\theta_2) = k_3 \sin(\theta_3) \quad (2-15)$$

* ที่ตัวกลางคัดชนีหักเห n_1 จะได้ $k_1 = k_2$ ทำให้ได้ $\theta_1 = \theta_2$ ผลดังกล่าวแสดงให้เห็นว่ามุนต์กระบวนการของคลื่นแม่เหล็กไฟฟ้าจะเท่ากับมุนต์สะท้อน จากกฎของสเนลล์ (Snell's Law) ที่แสดงถึงความสัมพันธ์ระหว่างมุนต์กระบวนการและมุนหักเห ตามสมการที่ 2-16

$$n_1 \sin(\theta_1) = n_2 \sin(\theta_2) \quad (2-16)$$

ค่าการสะท้อนและการส่งผ่านคลื่นแม่เหล็กไฟฟ้าที่ร้อยต่อเราสามารถพิจารณาจากแอนปลิจูดของคลื่น พิจารณาที่ความต่อเนื่องขององค์ประกอบของสนามไฟฟ้าในแนวตั้ง (Vertical) และ แนวสัมผัส (Tangential) กับร้อยต่อ จากสมการแมกเวลล์ได้ว่าความสัมพันธ์ของสัมประสิทธิ์เชิงแอนปลิจูด (Amplitude Coefficient) ของคลื่นสะท้อน (r_s) และคลื่นส่งผ่าน (t_p) เมื่อเทียบกับคลื่นตกระบวนการ ดังนี้

$$r_s = \frac{E_{3s}}{E_{1s}} = \frac{n_1 \cos(\theta_1) - n_2 \cos(\theta_2)}{n_1 \cos(\theta_1) + n_2 \cos(\theta_2)} \quad (2-17)$$

$$r_p = \frac{E_{3p}}{E_{1p}} = \frac{n_2 \cos(\theta_1) - n_1 \cos(\theta_2)}{n_1 \cos(\theta_1) + n_2 \cos(\theta_2)} \quad (2-18)$$

$$t_s = \frac{E_{2s}}{E_{1s}} = \frac{2 n_1 \cos(\theta_1)}{n_1 \cos(\theta_1) + n_2 \cos(\theta_2)} \quad (2-19)$$

$$t_p = \frac{E_{2p}}{E_{1p}} = \frac{2 n_1 \cos(\theta_1)}{n_1 \cos(\theta_1) + n_2 \cos(\theta_2)} \quad (2-20)$$

เมื่อ r_s คือ สัมประสิทธิ์แอนปลิจูดการสะท้อนของคลื่นในทิศตั้งฉากกับผิวน้ำร้อยต่อ r_p คือ สัมประสิทธิ์แอนปลิจูดการสะท้อนของคลื่นในทิศบนกับผิวน้ำร้อยต่อ t_s คือ สัมประสิทธิ์แอนปลิจูดการส่งผ่านของคลื่นในทิศตั้งฉากกับผิวน้ำร้อยต่อ t_p คือ สัมประสิทธิ์แอนปลิจูดการส่งผ่านของคลื่นในทิศบนกับผิวน้ำร้อยต่อ

จากกฎของสเนล์และสมการที่ 2-17 ถึง 2-20 สามารถหาค่าของ θ_2 ได้ในเทอมของ n_1 , n_2 และ θ_1 ดังสมการที่ 2-21

$$\cos \theta_2 = \frac{(n_2^2 - n_1^2 \sin^2 \theta_1)^{1/2}}{n_2} \quad (2-21)$$

กรณีวัสดุที่มีดัชนีหักเหเชิงช้อน และคิดค่านูน 0 เป็นเชิงช้อน เราสามารถแทนค่า \tilde{n} และ $\tilde{\theta}$ ลงในสมการ 2-17 ถึง 2-20 ซึ่งจะได้สัมประสิทธิ์เชิงช้อนของแอมปลิจูดคลื่นสะท้อน (\tilde{r}) และ สัมประสิทธิ์เชิงช้อนของแอมปลิจูดคลื่นส่งผ่าน (\tilde{t})

การหาความสะท้อน (Reflectance; R) และความส่งผ่าน (Transmittance; T) จาก สัมประสิทธิ์เชิงแอมปลิจูด เนื่องจากกำลังงานของคลื่นแม่เหล็กไฟฟ้าจะเปรียบตามกำลังสองของ แอมปลิจูด เราสามารถหาค่าดังกล่าวได้ในกรณีของการสะท้อนในแนวตั้งจากของผิววัสดุ ($\theta_i = 0$) โดยกำหนดให้คลื่นแม่เหล็กไฟฟ้าเคลื่อนที่จากตัวกลางสุญญาการ ($n_s = 1$) ต่อกระทนผิววัสดุมีดัชนี หักเหเชิงช้อน $\tilde{n}_2 = n_2 - ik_2$ สัมประสิทธิ์กำลังงานของการสะท้อนหาได้จากสมการที่ 2-22

$$R = |\tilde{r}_p \tilde{r}_p^*| = |\tilde{r}_s \tilde{r}_s^*| = \left| \frac{\tilde{n}_2 - 1}{\tilde{n}_2 + 1} \right|^2 = \frac{(n_2 - 1)^2 + k_2^2}{(n_2 + 1)^2 + k_2^2} \quad (2-22)$$

ทำนองเดียวกันความส่งผ่านหาได้ดังสมการที่ 2-23

$$R = |\tilde{t}_p \tilde{t}_p^*| = |\tilde{t}_s \tilde{t}_s^*| \quad (2-23)$$

ความสัมพันธ์ของความสะท้อนและความส่งผ่านแสดงดังสมการที่ 24

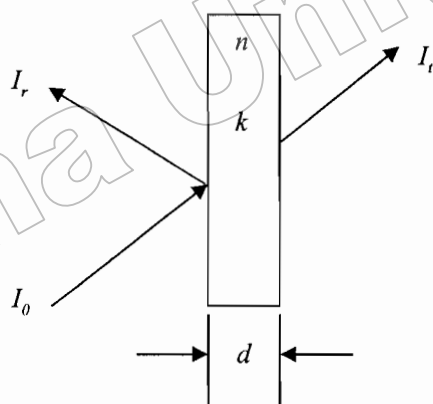
$$T + R + \alpha = 1 \quad (2-24)$$

เมื่อ α คือ สัมประสิทธิ์กำลังงานของการดูดคลื่นรังสีของวัสดุ
สมการ (2-24) นี้สามารถเรียกได้เป็นกฎการอนุรักษ์พลังงาน

4. การคำนวณสัมประสิทธิ์การดูดกลืนแสง และช่องว่างพลังงาน จากสัมประสิทธิ์การส่งผ่านแสงสัมประสิทธิ์การดูดกลืนแสง สามารถคำนวณได้โดยตรงจากสัมประสิทธิ์การส่งผ่าน (มติ ห้องประชุม, 2548) พิจารณาแสงตกกระทบสารตัวอย่างในแนวตั้งๆ แสดงดังภาพที่ 2-19 ให้ความเข้มของแสงที่ตกกระทบเป็น I_0 ความเข้มของแสงที่ทะลุผ่านเป็น I_t และความเข้มของแสงสะท้อนที่สะท้อนกลับเป็น I_r ความเข้มแสงที่ทะลุผ่านและสะท้อนกลับ สามารถเขียนในรูปของความส่งผ่านและความสะท้อน ตามลำดับดังสมการที่ 2-25 และสมการที่ 2-26

$$T = \frac{I_t}{I_0} = \frac{(1-R)^2 \exp(-\alpha d)}{(1+R)^2 \exp(-2\alpha d)} \quad (2-25)$$

$$R = \frac{I_r}{I_0} = \frac{(n-1)^2 + k^2}{(n+1)^2 + k^2} \quad (2-26)$$



ภาพที่ 2-19 การส่งผ่านแสงและการสะท้อน

เมื่อความหนาของสารตัวอย่าง (d) ที่พอดูเหมือนจะทำให้ปริมาณ $R^2 \exp(-2\alpha d)$ มีค่า
น้อยกว่า 1มาก สมการที่ 2-25 จึงลดรูปเหลือ

$$T = (1-R)^2 \exp(-\alpha d) \quad (2-27)$$

การเปลี่ยนแปลงพลังงานของโฟตอนที่ตกกระทบเนื้อสารจะมีผลต่อสัมประสิทธิ์
การสะท้อนน้อยมากซึ่งสามารถประมาณ $(1-R)^2$ เป็นค่าคงที่ ดังนี้จากสมการที่ 2-27 สามารถเขียน
สัมประสิทธิ์การดูดกลืนแสง

$$\alpha = \frac{1}{d} \ln \left(\frac{I_0}{I_t} \right) = \alpha' + c \quad (2-28)$$

เมื่อ c คือ ค่าคงที่ เกิดจากการประมาณให้สัมประสิทธิ์การสะท้อนคงที่ทำให้
ค่าสัมประสิทธิ์การดูดกลืนสูงกว่าความเป็นจริง ในการทดลองจะต้องนำ
สัมประสิทธิ์การดูดกลืนพื้นหลัง (Background Absorbtion Coefficient,
 α_0) ที่เกิดขึ้นจากข้อมูลของจากค่า α เพื่อให้ได้ค่าที่ถูกต้อง

ปรากฏการณ์ดูดกลืนแสงของสารกึ่งตัวนำ เป็นอันตรกิริยะระหว่างคลื่นแม่เหล็กไฟฟ้า
กับสารกึ่งตัวนำนิยามให้ สัมประสิทธิ์การดูดกลืนแสง คือปริมาณความเข้มแสงที่ลดลงต่อหน่วย
ระยะทางดังสมการที่ 2-29

$$\alpha = - \left(\frac{1}{I_t} \right) \frac{dI}{dx} \quad (2-29)$$

เมื่อ I คือความเข้มแสงที่ระยะทาง x ใด ๆ ในตัวกลาง

พิจารณากรณีแสงเอกอรค์ (Monochromatic Light) เคลื่อนที่ผ่านตัวกลางที่มีแกน平行ไเรเชนแบบระนาบ สนามไฟฟ้าและสนามแม่เหล็กสามารถเขียนได้เป็น

$$E = E_0 \exp[iK \cdot r - \omega t] \quad (2-30)$$

$$H = H_0 \exp[iK \cdot r - \omega t] \quad (2-31)$$

เมื่อ E คือ สนามไฟฟ้าอัมปลิจูด E_0

H คือ สนามแม่เหล็กมีอัมปลิจูด H_0

ω คือ ความถี่เชิงมุม (Angular Frequency)

T คือ เวลา

K คือ เวกเตอร์คลื่น (Wave Vector) มีทิศทางตั้งฉากกับ E กับ H เขียนได้เป็น

$$K = K_1 + K_2$$

ซึ่ง K_1 และ K_2 คือ เวกเตอร์จริง (Real Part) และ เวกเตอร์จินตภาพ (Imaginary Part)

สมการที่ 2-30 และ สมการที่ 2-31 จะเป็นผลเฉลยของสมการของแม่เหล็กไฟฟ้าพื้นที่ทางแม่เหล็ก (Magnetic Permeability) $\mu = 1$ ถ้า

$$K^* K = \mu_0 \epsilon_0 \epsilon \omega^2 = \frac{\epsilon \omega^2}{c^2} \quad (2-32)$$

เมื่อ ϵ คือ ค่าคงที่ไดอิเล็กทริกเชิงซ้อน (Complex Dielectric Constant)

สำหรับตัวกลางที่มีดัชนีหักเหเป็นปริมาณเชิงซ้อน คือ

$$N = n + i k \quad (2-33)$$

เมื่อ n คือ ค่าจริงของดัชนีหักเหของตัวกลาง

k คือ ค่าจินตภาพหรือสัมประสิทธิ์การดับสัญญาณของดัชนีหักเหของตัวกลางสำหรับ
ระยะคลื่นแยกพันธ์ จะได้

$$|K_1| = \frac{n\omega}{c} \quad (2-34)$$

$$|K_2| = \frac{k\omega}{c} \quad (2-35)$$

เมื่อ c คือ ความเร็วแสง

สำหรับการส่งผ่านพลังงานต่อหน่วยเวลาคือ

$$\bar{S} = \frac{nc\varepsilon_0}{2} (E^* E) k_E \quad (2-36)$$

เมื่อ k_E คือ เวกเตอร์หน่วยของ K_1 และ K_2

แทนสมการที่ 2-30 ลงในสมการที่ 2-36 จะได้

$$\bar{S} = \frac{nc\varepsilon_0}{2} (E_0^* E_0) k_E \exp(-2K_2 r) \quad (2-37)$$

จะเห็นได้ว่าการส่งผ่านพลังงานเฉลี่ยต่อเวลาลดลงด้วยแฟกเตอร์ $\exp(-2K_2 r)$ ตลอด
ระยะทาง d ซึ่ง I แปรผันตาม \bar{S} ดังนั้นสัมประสิทธิ์การดูดกลืนแสงของตัวกลางคือ

$$\alpha = 2|K_2| = \frac{2k\omega}{c} = \frac{4\pi k}{\lambda} \quad (2-38)$$

เมื่อ λ คือ ความยาวคลื่นแสงในสัญญาณ

จากสมการที่ 2-38 จะเห็นว่าค่าสัมประสิทธิ์การดูดกลืนแสงของตัวกลางขึ้นกับความ
ยาวคลื่นและสัมประสิทธิ์การดูดสูญ ที่ความถี่แสงเดียวกันในตัวกลางต่างชนิดกัน การดูดกลืนแสง
ก็จะต่างกัน การดูดกลืนแสงเป็นสมบัติเฉพาะตัวของตัวกลางแต่ละชนิด

การคำนวณหาค่าซึ่งของว่างແບพลังงานสามารถหาได้จากสมการที่ 2-39

(มติ หอประชุม, 2548)

$$B(hv - E_g)^m = \alpha hv \quad (2-39)$$

เมื่อ B คือ ค่าคงที่

hv คือ พลังงานแสง

E_g คือ ช่องว่างพลังงาน

m คือ ค่าคงที่โดยมีค่าขึ้นกับ Transition Mode ของสารกึ่งตัวนำ โดยที่

$m = 1/2$: การย้ายพลังงานแบบตรงแบบยอมรับได้ (Direct Allowed),

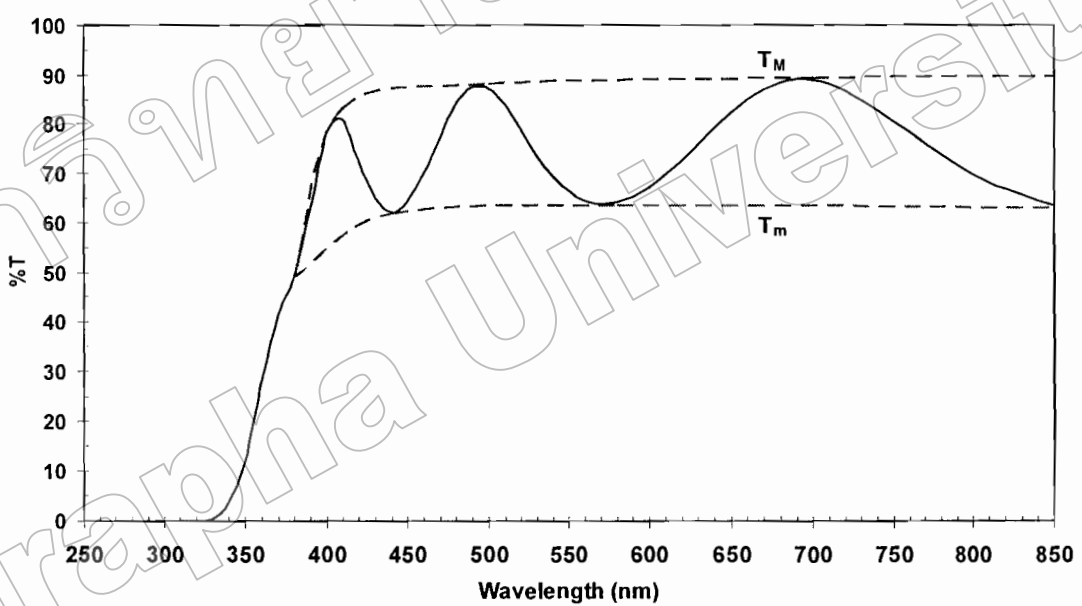
$m = 3/2$: การย้ายพลังงานแบบตรงแบบต้องห้าม (Direct Forbidden),

$m = 2$: การย้ายพลังงานแบบชนิดไม่ตรงแบบยอมรับได้ (Indirect Allowed),

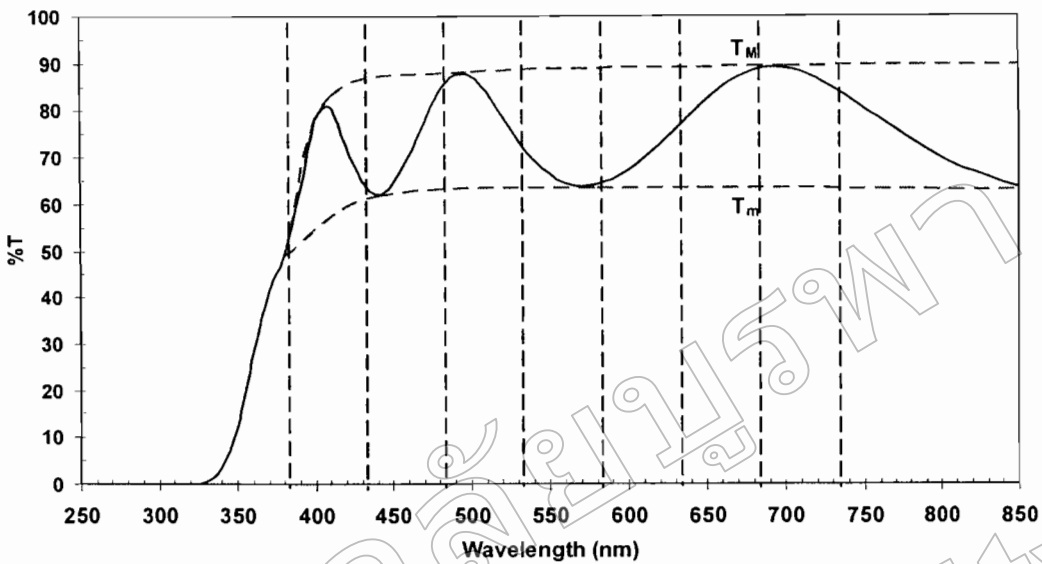
$m = 1$: การย้ายพลังงานแบบชนิดไม่ตรงแบบต้องห้าม (Indirect Forbidden)

5. การคำนวณดัชนีหักเหและสัมประสิทธิ์การดับสูญ จากสเปกตรัมการส่งผ่านแสงเป็นวิธีที่ไม่ยุ่งยากนัก ซึ่งพัฒนาขึ้นโดย Swanepoel (1983) โดยอาศัยแนวคิดพื้นฐานจากงานวิจัยของ Manifacier et al. (1976) ที่อาชัยเพียงสเปกตรัมการส่งผ่านแสงในการคำนวณเท่านั้นที่เรียกว่า Envelope

การคำนวณดัชนีหักเหและสัมประสิทธิ์การดับสูญ ด้วยวิธี Envelope Method เริ่มจากการสร้างของ (Envelope) คลุมสเปกตรัมการส่งผ่านแสงของฟิล์มบางชิ้นวัดจากเครื่องสเปกโตร โฟโตมิเตอร์ โดยการลากเส้นผ่านค่าสูงสุดและค่าต่ำสุดของสเปกตรัมการส่งผ่านแสง ตลอดช่วงความยาวคลื่นที่ต้องการคำนวณค่า และจากของที่สร้างขึ้นนี้จะทำให้สามารถหาค่าการส่งผ่านแสงสูงสุด (T_M) และ ต่ำสุด (T_m) ของความยาวคลื่นที่ต้องการได้แสดงดังภาพที่ 2-20



ภาพที่ 2-20 ตัวอย่างของคลุมสเปกตรัมการส่งผ่านแสงสำหรับใช้ในการคำนวณดัชนีหักเห สัมประสิทธิ์การดับสูญ โดยลากเส้นผ่านค่าสูงสุดและค่าต่ำสุดของสเปกตรัม



ภาพที่ 2-21 ตัวอย่างเส้นตั้งฉากสเปกตรัมการส่งผ่านแสงสำหรับใช้ในการคำนวณค่าเฉลี่ยหักเหและสัมประสิทธิ์การดับสูญที่ความยาวคลื่นที่สนใจ

ค่าเฉลี่ยหักเห (n) และสัมประสิทธิ์การดับสูญ (k) ของพิล์มนางจากวิธี Envelope โดยใช้ข้อมูลจากสเปกตรัมการส่งผ่านแสงในการคำนวณ (จินดาวรรณ ธรรมปรีชา, 2553) ซึ่งมีขั้นตอนดังนี้

1 การหาค่าเฉลี่ยหักเห

1. 1 นำพิล์มนางที่เคลือบบนกระจกสีใส่ไปทำการวัดเปอร์เซ็นต์การส่งผ่านแสงด้วยเครื่องสเปกโตร ไฟฟ์มิเตอร์

1.2 นำเปอร์เซ็นต์การส่งผ่านแสงไปเปลี่ยนกราฟ โดยให้แกน x เป็นแกนของความยาวคลื่น และแกน y เป็นแกนของเปอร์เซ็นต์การส่งผ่านแสง

1.3 สร้างช่องครอบสเปกตรัมการส่งผ่านแสงโดยการลากเส้นผ่านค่าสูงสุด (T_M) และค่าต่ำสุด (T_m) ของสเปกตรัมการส่งผ่านแสงตลอดช่วงความยาวคลื่นที่สนใจดังภาพที่ 2-20

1.4 ลากเส้นตรงตั้งฉากกับแกน x ที่ความยาวคลื่นที่สนใจให้ตัดกับช่องที่สร้างขึ้นเพื่อหาค่า T_M และ T_m ดังภาพที่ 2-21

1.5 นำค่า T_M และ T_m ที่ได้ไปแทนในสมการ 2-40

$$N = 2s \frac{T_M - T_m}{T_M T_m} + \frac{s^2 + 1}{2} \quad (2-40)$$

$$\text{เมื่อ } s = \frac{1}{T_s} + \sqrt{\frac{1}{T_s^2} - 1} \quad (2-41)$$

เมื่อ s คือดัชนีหักเหของกระเจกสีปลด และ T_s เป็นปอร์เซ็นต์ค่าการส่งผ่านแสงของกระเจกสีปลด ($\lambda > 350 nm$).

1.6 นำค่า N ที่ได้จากสมการ 2-40 ไปแทนในสมการ 2-42 จะได้ดัชนีหักเห (n) ของแต่ละความยาวคลื่นในช่วงที่สนใจ

$$n = \sqrt{N + \sqrt{N^2 - s^2}} \quad (2-42)$$

2. การหาสัมประสิทธิ์การดับสูญ (k)

2.1 สัมประสิทธิ์การดูดคลื่น ($\alpha_{(\lambda)}$) คำนวณได้จากสมการที่ 2-43

โดย d เป็นความหนาของฟิล์ม

$$\alpha_{(\lambda)} = -\frac{1}{d} \ln x \quad (2-43)$$

$$x = \frac{F - \sqrt{F^2 - (n^2 - 1)^3(n^2 - s^4)}}{(n^2 - 1)^3(n - s^4)} \quad (2-44)$$

$$F = \frac{8n^2 s}{T_i} \quad (2-45)$$

$$\text{และ } T_i = \frac{2T_M T_m}{T_M + T_m} \quad (2-46)$$

2.2 แทนค่า α จากสมการที่ 2-43 ในสมการที่ 2-47 จะได้สัมประสิทธิ์การดับสูญ (k) ของแต่ละความยาวคลื่นในช่วงที่สนใจ

$$k = \frac{\alpha \lambda}{4\pi} \quad (2-47)$$

การหาลักษณะเฉพาะของฟิล์มบาง

ลักษณะเฉพาะหรือสมบัติต่าง ๆ ของฟิล์มบางสามารถวิเคราะห์หรือหาได้จากเทคนิคต่างๆ หลายเทคนิค ในงานวิจัยนี้จะศึกษาลักษณะเฉพาะเฉพาะของฟิล์มบางต่อไปนี้ โครงสร้างผลึกเฟส ลักษณะพื้นผิว และความหนา ด้วยเทคนิคต่าง ๆ ดังนี้

1. การศึกษาโครงสร้างด้วยเครื่อง X-ray Diffractrometer (XRD)

ลักษณะเฉพาะสำคัญอย่างหนึ่งของฟิล์มบางคือการศึกษาโครงสร้างผลึก หรือ เฟส ซึ่งสามารถวิเคราะห์ได้ด้วยเทคนิควิเคราะห์การเลี้ยวเบนรังสีเอกซ์ (Diffraction Analysis) กมล เอี่ยมพนากิจ (2547) อธิบายหลักการของเทคนิคนี้ ไว้วังนี้ การวิเคราะห์การเลี้ยวเบนรังสีเอกซ์ เป็นเทคนิคที่ใช้สำหรับการแยกแยะ โครงสร้างของสารที่ใช้ในการเคลือบโดยการวิเคราะห์อาศัย การเปรียบเทียบรูปแบบการเลี้ยวเบนกับมาตรฐาน JCPDS (Joint Committee on Powder Diffraction Standard) ของสารนั้น ดังนั้นเทคนิค XRD เป็นเทคนิคสำหรับวัดค่าความเข้มของรังสี เอกซ์ที่สะท้อนจากผลึก ใช้หลักการของการเลี้ยวเบนของคลื่น โดยพบว่ารังสีเอกซ์เลี้ยวเบน ได้เมื่อ ให้ตัวกรอบผลึกซึ่ง Bragg ได้เสนอแนวคิดว่าเราสามารถมองผลึกประกอบด้วยชั้น (Layer) หรือ รูปนาfrm (Plane) ของอะตอมซึ่งสามารถสะท้อนคลื่นที่ตัวกรอบ โดยมุ่งที่ตัวกรอบเท่ากับมุ่ง สะท้อนทั้งนึ่นคลื่นที่สะท้อนออกไปจากรูปนาfrm ดังกล่าวจะมีความเข้มสูง สำหรับรังสีเอกซ์ 1 และ 2 ตัวกรอบหามุ่ง θ กับรูปนาfrm ของผลึก A และ B สนาน ไฟฟ้าของรังสีเอกซ์จะก่อให้เกิดแรงคูลอนปี กระทำบนอิเล็กตรอนที่ P กับ Q ให้สัมผัสด้วยความถี่เดียวกับรังสีเอกซ์ที่ตัวกรอบ และอิเล็กตรอนนี้แผ่คลื่นแม่เหล็ก ไฟฟ้าเป็นรังสีเอกซ์ออกไปทุกทิศทางแต่ในทิศทาง 1' และ 2' ซึ่งเสมือนรังสีเอกซ์สะท้อนของอุกกากรูปนาfrm ของผลึกจะไปแทรกสอดแบบเสริมกัน (In Phase) แม้ว่า แบบจำลองที่กล่าวมาจะไม่ถูกต้องในทางกายภาพ เนื่องจากแท้จริงแล้วรูปนาfrm ของอะตอม ไม่ได้ สะท้อนคลื่นแต่เวชน์ก์ใช้ได้ในทางเรขาคณิต พิจารณา

$$\delta = n\lambda \quad (2-48)$$

เมื่อ δ คือ ความแตกต่างของระยะที่คลื่นเดินทาง

λ คือ ความยาวคลื่น

n คือ จำนวนเต็มใด ๆ

จากภาพที่ 2-22

$$\delta = SQ + QT = 2SQ \quad (2-49)$$

จากรูปตรีgon มิติพื้นฐาน

$$\delta = 2PQ \sin \theta \quad (2-50)$$

โดย PQ คือระยะห่างระหว่างระนาบ d_{hkl}

$$\delta = 2d \sin \theta \quad (2-51)$$

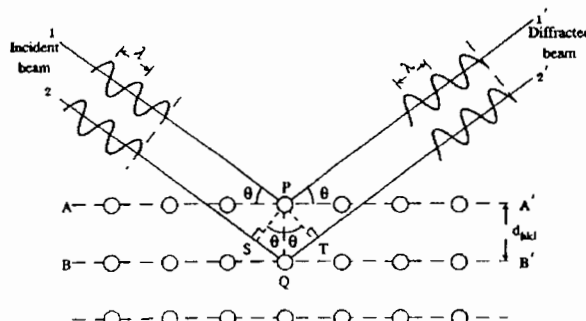
จากสมการ (2-44) เท่ากับ (2-47) จะได้

$$2d_{hkl} \sin \theta = n\lambda \quad (2-52)$$

เรียกสมการที่ 2-52 นี้ว่า สมการการเลี้ยงเวนรังสีเอกซ์จากผลึก (Bragg's law)

โดยที่ λ เป็นความยาวคลื่น n เป็นลำดับของการสะท้อน d_{hkl} เป็นระยะห่างระหว่างระนาบ (hkl) และ θ เป็นมุมตkehnh และมุมสะท้อนเมื่อวัดจากแนวระนาบที่กำลังพิจารณา

ในภาพที่ 2-22 เป็นแบบจำลองสำหรับการพิสูจน์กฎของเบรก์ อะตอนเรียงตัวเป็นรูปเส้น โดยมีระยะห่างอะตอนใกล้เคียงกับความยาวคลื่นของรังสีเอกซ์ ($\sim 10^{-10} \text{ m}$) จะทำหน้าที่เป็นเสมือน เกรตติงเลี้ยงเวนแต่จะเป็นเกรตติงเลี้ยงเวนแบบ 3 มิติ



ภาพที่ 2-22 แบบจำลองการเรียงตัวของอะตอน (กมล เอี่ยมพนาภิจ, 2547)

สัญญาณที่ตรวจจับได้จะแสดงออกมาในรูปแบบของการเลี้ยวเบนรังสี (Diffraction Pattern) ความเข้มของสัญญาณขึ้นอยู่กับหลายปัจจัยด้วยกัน เช่น โครงสร้างของวัสดุปริมาตรของวัสดุที่แพร์รังสี (Volume of Irradiated Material) รูปทรงของการหักเห (Diffraction Geometry) และการวางชิ้นงาน (Sample Alignments) เป็นต้น

ตำแหน่งของพีค ที่มีค่ามากที่สุดสามารถบอกถึงขนาดและรูปร่างของหน่วยเซลล์ได้ ในขณะที่ความกว้างใช้หาค่าขนาด การจัดเรียงตัว (Orientation) และความเครียด (Strain) ภายในโครงสร้างวัสดุหลายผลึก โดยอาศัย Seherrer equation ดังสมการที่ 2-53

$$L = \frac{k\lambda}{\beta \cos\theta} \quad (2-53)$$

เมื่อ L คือ ขนาดของผลึกฟิล์ม ให้ทางเนย์มาย ได้ออกใช้ค

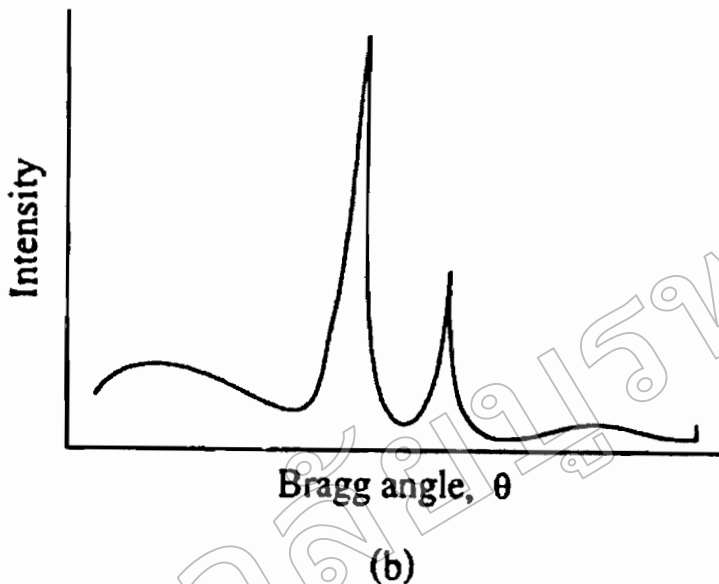
k คือ ค่าคงที่เท่ากับ 0.94

λ คือ ความยาวคลื่นของรังสีเอกซ์ ($CuK_{\alpha} = 1.5406 \text{ \AA}$)

β คือ ความกว้างครึ่งหนึ่งของพีคที่มีค่าความเข้มสูงสุด

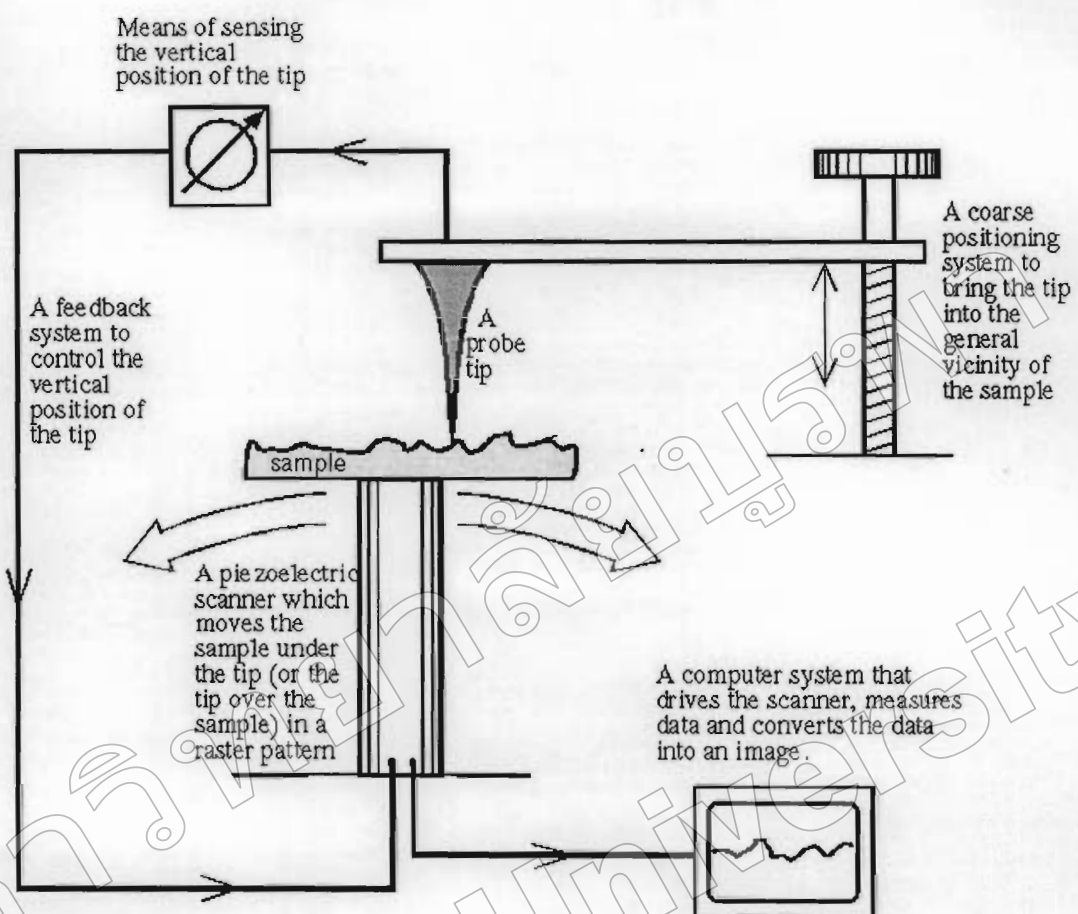
θ คือ ครึ่งหนึ่งของมุมตรงจุดศูนย์กลางพีค

บางครั้งตำแหน่งของรูปแบบการเลี้ยวเบนที่วัดได้อาจจะเลื่อนไปด้วยค่ามุมที่สูงขึ้น เนื่องจากผลของการความเห็นด้วย (Residual Stress) ในผิวสารเคลือบนั้นเอง ส่วนความเข้มของสัญญาณที่ได้อาจไม่เป็นไปตามค่ามาตรฐาน JCPDS เพราะเกิดการจัดเรียงตัวในทิศทางที่ชอบ (Preferred Orientation) ของอะตอมในฟิล์มนอกจากนี้เทคนิคการเลี้ยวเบนรังสีเอกซ์ยังสามารถให้ข้อมูลที่บอกรถึงส่วนผสมทางเคมีของเฟส (Phase Composition) และค่าพารามิเตอร์ของแลททิซ (Lattice Parameter)



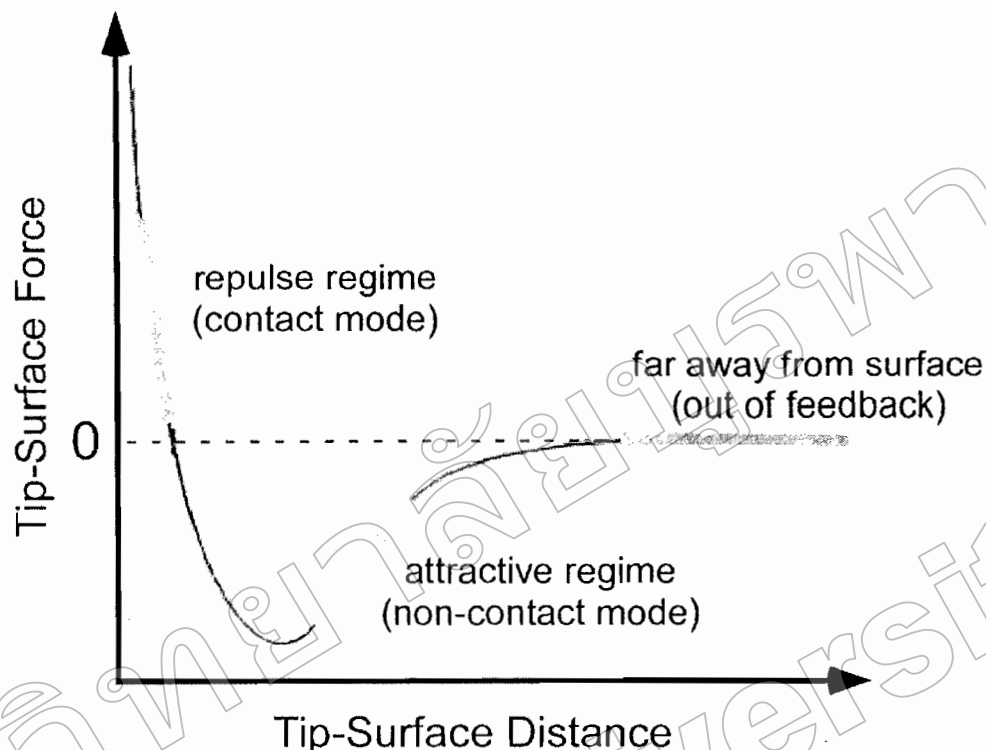
ภาพที่ 2-23 ความเข้มของพีกที่แสดงถึงรูปแบบผลึกของวัสดุในตำแหน่งที่มีการสะท้อนรังสี
(มติ หอประทุม, 2548)

2. การศึกษาลักษณะพื้นผิวด้วยเครื่อง Atomic Force Microscopy (AFM) ลักษณะเฉพาะสำคัญอีกอย่างหนึ่งของฟิล์มนางคือการศึกษาลักษณะพื้นผิวและความหนาเทคนิกที่นิยมใช้ใน การศึกษาความหนาและลักษณะพื้นผิวของฟิล์มนางในระดับนาโน คือ Atomic Force Microscopy (AFM) ซึ่ง จตุพร วุฒิกานกากุญจน์ (2542) ได้อธิบายหลักการทำงานของเครื่อง AFM ไว้ดังนี้ เทคนิค Atomic Force Microscopy เป็นการสร้างภาพของผิววัสดุจากแรงกระทำระหว่างผิววัสดุกับตัวตรวจวัดที่ทำงานบนนาโนเดลิก (Probe Tip) และเป็นเทคนิคหนึ่งในกลุ่มของ Scanning Probe Microscopy (SPM) ซึ่งเป็นกลุ่มเทคนิคที่สามารถใช้ในการศึกษาสภาพพื้นผิวของวัสดุประเภทต่างๆ ได้ หลักการพื้นฐานคือ การใช้เข็มตรวจวัดขนาดเล็กที่ทำจากซิลิโคนในไตรด์ (Silicon Nitride; Si_3N_4) เคลื่อนที่กราด (Scan) ไปทั่วบริเวณต่างๆ ของผิววัสดุ โดยมีตัวเพียงโซอิเล็กทริก สแกนเนอร์ (Piezoelectric Scanner) เป็นตัวควบคุม สภาพผิวที่แตกต่างกันไปจะก่อให้เกิดการเปลี่ยนแปลงกับเข็มตรวจวัดแตกต่างกันไป โดยตัวตนมีเข็มแกะติดอยู่จะมีการโค้งงอ (Bending) ปริมาณการโค้งงอนี้สามารถตรวจวัดได้โดยใช้โฟโตเดกเตอร์ (Photo Detector) ดังภาพที่ 2-24 ภาพที่ได้จากเทคนิคนี้จะสอดคล้องตามสภาพพื้นผิวในแต่ละบริเวณที่ตรวจสอบ ในเทคนิค AFM นี้ สิ่งที่ทำให้ค่านี้มีเข็มแกะอยู่เกิดการโค้งงอขึ้นก็คือ แรงกระทำระหว่างอะตอม ซึ่งอาจจะเป็นแรงดึงดูดหรือแรงผลักก์ได้เช่นอยู่กับระบบห่างระหว่างเข็มปลายแหลมกับพื้นผิว ดังแสดงในภาพที่ 2-25



ภาพที่ 2-24 องค์ประกอบหลักของเครื่องมือ Scanning Probe Microscope

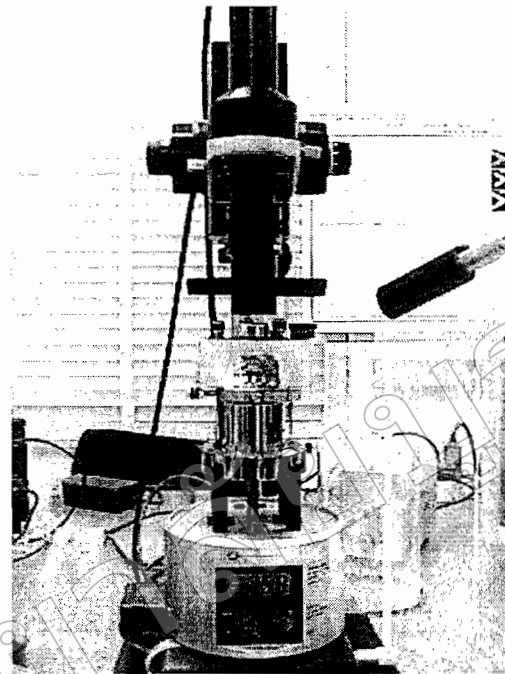
(<http://www2.polito.it/ricerca/micronanotech/Strumenti/SPM.html>)



ภาพที่ 2-25 ลักษณะของแรงกระทำระหว่างอะตอมที่เกิดขึ้นในระบบห่างระหว่างวัตถุค้าง ๆ
 (www.science.siu.edu/chemistry/zang/afm.html)

เทคนิค AFM สามารถแบ่งได้หลายวิธีตามลักษณะการเก็บข้อมูล ซึ่งจะได้ล่าสุดในหัวข้อต่อไปอย่างไรก็ตาม ไม่ว่าจะเป็นการใช้ AFM วิธีใด แรงกระทำที่เกิดขึ้นจะมีการเปลี่ยนแปลงไปตามสภาพพื้นผิว (Topography) ของวัสดุ

ภาพที่ 2-26 แสดงให้เห็นถึงเครื่อง Atomic Force Microscope รุ่น NanoScopellla บริเวณตรงกลางเป็นบริเวณที่ใช้วางชิ้นงาน โดยมีเข็มวัดวางอยู่ด้วย ส่วนที่บริเวณด้านบนของเครื่องมือจะมีกล้องจุลทรรศน์วิดีโอ (Video Microscope) ติดตั้งไว้ เพื่อใช้สำหรับดูตำแหน่งของเข็มที่จะทำการวัดลงบนบริเวณค้าง ๆ บนผิว ภาพที่ได้จากการถ่ายภาพนี้จะแสดงทางซอฟต์แวร์ที่ใช้ในการออกแบบนี้ในบริเวณด้านบน จะมีแหล่งกำเนิดแสงเลเซอร์และไฟโอลิแก๊สที่ใช้ในการโถ้งของคานยืน



ภาพที่ 2-26 เครื่อง AFM แบบ Multimode (http://rclsgi.eng.ohio-state.edu/nlim/page_01.htm)

ลักษณะการเก็บข้อมูลด้วยเทคนิค AFM สามารถใช้เก็บข้อมูลได้ 4 แบบ (Mode) ที่สำคัญดังนี้คือ

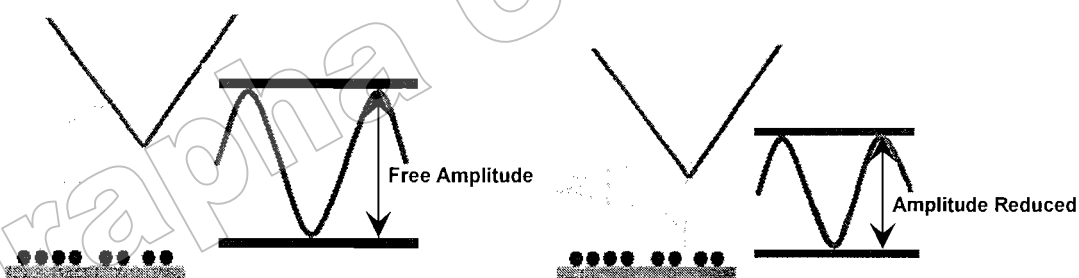
1. แบบสัมผัส (Contact Mode) เป็นการศึกษาสภาพผิวชั้นงานโดยการขยับให้เข้าไปคลide ไปบนผิวงานซึ่งจะทำให้มีแรงผลักกีดขึ้น เนื่องจากเข็มกับผิวงานจะอยู่ใกล้กันมาก แรงผลักนี้จะเปลี่ยนแปลงไปตามสภาพผิวซึ่งจะทำให้มีการโถงอ (Deflection) ของคานยื่น (Cantilever) ที่มีเนืบบดกระดอนที่ปลาย โดยปริมาณการโถงจะเปลี่ยนแปลงสอดคล้องเป็นไปตามลักษณะของผิวงาน

อย่างไรก็ตาม เทคนิคแบบ แบบสัมผัสนี้มีข้อเสียคือ การลากให้เข้าตรวจสอบเดลี่อ่อนที่ไม่ดี ข้ามไปยังบริเวณต่าง ๆ บนผิวงาน อาจจะทำให้พื้นผิวสุดที่กำลังศึกษาต่างไปจากสภาพเดิมที่แท้จริง หรืออาจเกิดความเสียหายขึ้นแก่ผิวงานได้ ยกตัวอย่างเช่น ภายในได้สภาพบรรยายกาศปกติซึ่งมีอากาศและความชื้นในอากาศ อาจจะเกิดหยดน้ำหรือสิ่งสกปรกบนผิวงาน ซึ่งเมื่อเข้ามาตรวจสอบเดลี่อ่อนที่ไปสัมผัสกับผิวที่มีชั้นบาง ๆ ของหยดน้ำและสิ่งสกปรกดังกล่าว จะทำให้มีแรงดึงไฟฟ้าสถิตและแรงตึงผิวดึงให้ตัวคนที่มีเข็มมีค่าอยู่ที่ปลายเคลื่อนที่ลงมาสัมผัสกับชั้นดังกล่าว ทำให้แรงระหว่างเข็มกับผิวงานที่เกิดขึ้นโดยรวมเปลี่ยนแปลงไป นอกจากนี้ ยังอาจทำให้ผิวงานถูกทำลาย เช่น เกิดการฉีกขาดจากการลากเข็มไปบนผิวงาน

2. แบบไม่สัมผัส (Non-Contact Mode) เพื่อที่จะหลีกเลี่ยงปัญหาดังกล่าวข้างต้น จึงได้มีการพัฒนาเทคนิคแบบใหม่สัมผัส ขึ้นมา โดยในที่นี้ ตัวเข็มลายแหลมจะถูกยกขึ้นมาให้มีระยะห่างเหนือผิวงานสูงมากขึ้น คือประมาณ $10 - 100 \text{ \AA}$ จึงไม่มีปัญหารือการทำลายโครงสร้างผิวงานโดยในกรณีนี้ แรงกระทำระหว่างตัวคานที่มีเข็มปลายแหลมยึดเกาะอยู่กับผิวงานจะเป็นลักษณะแรงดึงดูด ซึ่งจะเปลี่ยนแปลงไปตามรูปทรงของสภาพผิวงานแห่นเดียว กัน

วิธีนี้มีข้อจำกัดเกี่ยวกับความละเอียดของภาพที่เกิดขึ้น นั่นคือ แรงดึงดูดประเทเวน เดอร์วัลลส์ (Van Der Waals) ที่เกิดขึ้นในกรณีจะเป็นแรงที่อ่อนกว่าเมื่อเทียบกับแรงผลักที่เกิดขึ้นในกรณีของ Contact Mode ดังนั้นการตรวจสอบอาจไว (Sensitive) ต่อสิ่งเปลกปลอมที่อยู่บนผิวงาน เช่น หยดน้ำที่เกาะอยู่บนผิว

3. แบบแทะปิง (Tapping Mode) เป็นเทคนิคที่รวมเอาลักษณะของการวัดทั้งในแบบของแบบสัมผัส และแบบไม่สัมผัส เข้าด้วยกัน กล่าวคือ ยังคงให้มีการสัมผัสนั้นระหว่างเข็มกับผิวงาน ในระยะที่ใกล้กันมาก เหมือนกับกรณีของแบบสัมผัส เพื่อให้เกิดภาพที่ชัดเจน ในขณะเดียวกัน ก็จะมีการสั่นหรือขยับเข็มปลายแหลมให้เคลื่อนที่ขึ้นลง ไปพร้อม ๆ กับการเคลื่อนที่สแกนไปยังบริเวณต่าง ๆ บนผิวงาน ดังนั้นจึงเป็นการหลีกเลี่ยงปัญหาการลากไถเข็มปลายแหลม ซึ่งจะทำให้เกิดการทำลายสภาพของผิวงานได้ เมื่อในแบบสัมผัส



ภาพที่ 2-27 ลักษณะการสั่นของคานที่มีเข็มติด

(<http://www.nanocraft.de/kompetenz/tapping/tapping.html>)

ภาพที่ 2-27 แสดงการสั่นของคานในสภาวะอิสระหรือตอนเริ่มต้นที่ยังไม่เกิดการสัมผัส และขั้นเคลื่อนที่ไปบนผิวงาน จะเห็นได้ว่าแอมเพลจูดจะยังสูงอยู่เมื่อเทียบกับแอมเพลจูดที่เกิดจาก การสั่นของคานเมื่อมีการแตะสัมผัส (Tapping) ลงบนผิวงาน เนื่องจากในการสัมผัสนั้นจะมีการสูญเสียพลังงานของการสั่น ทำให้แอมเพลจูดของการสั่น (Oscillation Amplitude) ลดลง ซึ่งค่าที่ลดลงนี้จะใช้เป็นตัววัดและบอกถึงลักษณะของสภาพพื้นผิวที่มีความสูงต่ำแตกต่างกันไป

ตัวอย่างเช่น เมื่อเข้มตรวจวัดเคลื่อนที่ผ่านบริเวณผิวงานที่มีความนูนสูงขึ้นมา ตัวคานก็จะมีพื้นที่หรือแอมเพลจูดในการสั่นลดลง ในทางตรงข้าม เมื่อเข้มปลายแหลมเคลื่อนที่ผ่านบริเวณผิวที่มีการยุบตัวหรือมีความลึกลงไป ตัวคานก็จะมีพื้นที่ในการสั่นเพิ่มขึ้น และมีแอมเพลจูดสูงขึ้น (เข้าใกล้แอมเพลจูดสูงสุดในสภาพที่ยังไม่มีการทำกราฟเคน) แอมเพลจูดของการสั่นที่เปลี่ยนแปลงไปก็จะถูกวัดโดยแอมเพลจูดเดกเตอร์ (Amplitude Detector) แล้วส่งผลเข้าไปยังตัวควบคุมซึ่งจะทำการวัดสัญญาณพร้อมทั้งปรับระยะระหว่างเข็มกับผิวงาน เพื่อรักษาให้ค่าแอมเพลจูดของการสั่นให้คงที่ต่อไป จนกว่าจะมีการเปลี่ยนแปลงของแอมเพลจูดของการสั่นตามสภาพพื้นผิวในบริเวณถัดไป

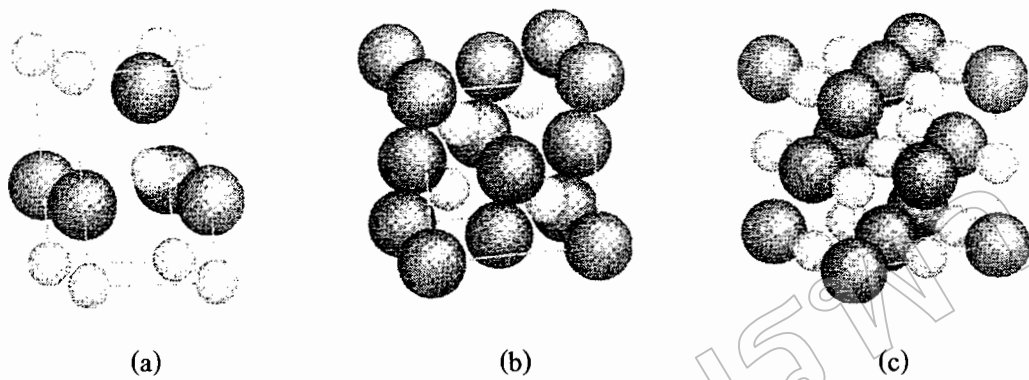
4. แบบโนมูลีชัน (Force Modulation Mode) ของเร่งสำหรับพื้นผิวของวัสดุที่มีองค์ประกอบหลายเฟส พนวณเทคนิค AFM ในวิธีแบบโนมูลีชันของเรง จะเป็นที่นิยมใช้มากโดยเทคนิคนี้จะเป็นการวัดและสร้างภาพของพื้นผิวชิ้นงานที่มีความแตกต่างของความแข็งแกร่ง (Stiffness) ในแต่ละเฟสสูง โดยในการณ์นี้ตัวเข็มจะสแกนไปในลักษณะที่มีการสั่นในแนวตั้งจากกับผิววัสดุด้วยแอมเพลจูดเล็กน้อย แต่จะมีความเร็วในการสั่นที่สูงกว่าการเคลื่อนที่สแกนของเข็ม และเมื่อตัวเข็มถูกนำเข้ามาแตะกับผิววัสดุก็จะเกิดแรงต่อต้านจากผิวของวัสดุที่เกิดจากการสั่นและทำให้ตัวคานงอ และถ้าหากว่าเราให้แรงที่ทำให้ตัวคานสั่นคงที่ พื้นผิวบริเวณที่แข็งกว่าจะทำให้เกิดการต่อต้านต่อการสั่นในแนวตั้งของตัวคานมากกว่า และจึงทำให้ตัวคานง่อนากกว่าดังนั้น การเปลี่ยนแปลงของแอมเพลจูดที่เกิดจากการโก่งของตัวคานจึงนำมาใช้วัดเบรียบเทียบความแข็งที่บริเวณต่างๆ ของผิวงาน

หลักการของวิธีแบบปิงกับแบบโนมูลีชันของเรงคล้ายกันที่มีการสั่นของเข็มในแนวตั้งพร้อมกับมีการสแกนไปบนผิวชิ้นงาน อย่างไรก็ตามทั้ง 2 เทคนิค จะมีความแตกต่างกันคือในกรณีแบบโนมูลีชันของเรง จะสั่นด้วยความเร็วสูงกว่า (สูงกว่าความเร็วในการสแกน) และการวัดแอมเพลจูดที่เกิดจากการบิดงอของคาน เป็นการวัดเนื่องจากผลของเรงต้านการสั่น เมื่อมีการสัมผัสของเข็มกับผิวงานในขณะที่ แบบปิงกับปิง จะเป็นการวัดการเปลี่ยนแปลงแอมเพลจูดของการสั่นของคานที่เปลี่ยนแปลงไป (ลดลง) เนื่องมาจากมีการสูญเสียพลังงานไปเมื่อมีการสัมผัสผิวงานที่มีระดับความสูงต่ำแตกต่างกัน

อะลูมิเนียมไนไตรด์

อะลูมิเนียมไนไตรด์ (AlN) เป็นสารประกอบที่ประกอบขึ้นจากชาตุ 2 ชนิด ได้แก่ชาตุอะลูมิเนียม (Al) และชาตุไนโตรเจน (N) มีแบบพลังงานกว้าง ทำให้สามารถจัดสารประกอบชนิดนี้ให้เป็นสารกึ่งตัวนำชนิดที่มีช่องว่างແตนพลังงานกว้าง ได้เมื่อเทียบสารประกอบนี้คับชาตุที่มีพลังงานต่ำ เช่น ชาตุคาร์บอน สารประกอบนี้มีค่าช่องว่างແตนพลังงานเป็น 6.2 eV ที่ 300 K เมื่อเป็นโครงผลึกแบบhexagonal โภนอล นอกจากนี้ยังสามารถจัดให้อลูมิเนียมไนไตรด์เป็นอนุวนไฟฟ้า และยังถูกนำมาใช้เป็นสารไดอิเล็กทริกแนวใหม่ สำหรับการประยุกต์ใช้งานในทางอิเล็กทรอนิกส์ที่ใช้งานแบบอุณหภูมิและกำลังไฟฟ้าสูง เนื่องจากพบว่าสารนี้มีเสถียรภาพเชิงความร้อนสูงเมื่อปัจจุบันซึ่ดีคอนและซิลิค่อนคาร์ไบด์ อะลูมิเนียมไนไตรด์ได้ถูกนำมาใช้เป็นชั้นกันชนในการปัจจุบันซึ่ดีคอนและซิลิค่อนคาร์ไบด์ อะลูมิเนียมไนไตรด์ได้ถูกนำมาใช้เป็นชั้นกันชนในการ

โครงผลึกสารกึ่งตัวนำชนิดอื่น ๆ อีกด้วย ตัวอย่างเช่น การปัจจุบันซึ่ดีคอนและซิลิค่อนคาร์ไบด์ อะลูมิเนียมไนไตรด์ที่มีเชิงผลึก (Lattice Mismatch) ที่น้อยมาก แล้วยังพบว่ายังเกิดชั้นเชื่อมโยงระหว่างผลึกระหว่าง GaN และ AlN จำนวนมากด้วย สมบัติการเป็นสารกึ่งตัวนำที่ต้านทานสิ่หันชนิดช่องว่างແตนพลังงานตรงของอะลูมิเนียมไนไตรด์ทำให้ถูกเลือกใช้เป็นสารสำหรับการประยุกต์ใช้เป็นวัสดุอุปกรณ์อิเล็กทรอนิกส์ในยานความถืออัลตราไวโอเล็ต (UV) และยังพบว่าสามารถประยุกต์ใช้สารนี้ในการสร้างขอแสดงผลชนิดแพร์สนาในยานความถือสูงด้วยสารประกอบอะลูมิเนียมไนไตรด์ถูกพบว่ามีโครงสร้างผลึกอย่างน้อย 3 รูปแบบ ได้แก่ โครงสร้างแบบhexagonal โภนอลเวอร์ตไซต์ (Wurtzite) ที่พบจำนวนมาก โครงสร้างถูกนาศก์แบบซิงค์เบลนด์ (Zinc Blende) และโครงสร้างถูกนาศก์แบบร็อกซอลต์ (Rock Salt) ดังภาพที่ 2-27 ความแตกต่างกันในโครงสร้างผลึกทั้ง 3 รูปแบบ ส่งผลให้เกิดความแตกต่างในสมบัติทางไฟฟ้า และความเร็วเชิงกล โครงสร้างแบบซิงค์เบลนด์ ถูกทำนายว่าเป็นสารที่มีช่องว่างແตนพลังงานทางอ้อมมีค่าต่ำ (ประมาณ 5.1 eV) แต่มีความเร็วสูง โครงสร้างแบบร็อกซอลต์ เป็นโครงสร้างที่มีความดันสูง ตัววัดโครงสร้างแบบซิงค์เบลนด์ถูกพบได้ยาก สารละลายนองแข็งของอะลูมิเนียมไนไตรด์ที่มีโครงสร้างแบบร็อกซอลต์ กับไทยาเนียมไนไตรด์ เป็นสารที่น่าสนใจโดยเฉพาะการนำสารละลายนองแข็งนี้มาประยุกต์ใช้ในงานการเคลือบแข็ง



ภาพที่ 2-28 ลักษณะโครงสร้างผลึกของอัลูมิเนียมไนโตรค์ (Tungasmita, 2001)

- (a) Wurtzite AlN
- (b) Zinc Blende AlN
- (c) Rock Salt AlN

การสังเคราะห์สารประกอบอน/oัลูมิเนียมไนโตรค์สามารถเตรียมได้จากเทคนิคการปั๊กผลึกหลาด因地制宜 ตัวอย่างเช่น การเตรียมสารนี้จากการเคลื่อนย้ายลำไบของโนเมเลกุลในสภาพแก๊ส (GSMBE) หรือการเตรียมโดยเทคนิคการปั๊กสารด้วยไอเคมีชนิดปฏิกิริยาโลหะกับองร์กานิก (MOCVD) เทคนิคการระเหิดและควบแน่น และเทคนิครีเอกตีฟสป๊ปเตอริง ทั้งแบบ RF และ DC อย่างไรก็ตามการเตรียมสารนี้จากเทคนิคต่าง ๆ คุณภาพของสารที่เตรียมได้ยังไม่สามารถระบุได้ว่า เทคนิคใดมีเตรียมได้ดีกว่ากัน

งานวิจัยที่เกี่ยวข้อง

Oliveira, Massi, Santos, Otani, Maciel, and Mansano (2001) ได้เคลือบอลูมิเนียมในไตรค์บันแพ่นซิลิกอน (P-Type silicon) โดยใช้รีแอคติฟดีซี แมกนีตรอนสปัตเตอริ่งในบรรยากาศของแก๊สผสมระหว่าง ไนโตรเจนและอาร์กอน เพื่อกีดขวางการให้ความร้อนแก่แพ่นซิลิกอน และ อัตราส่วนของแก๊สผสม จากการวิเคราะห์ด้วย XRD พบว่าปัจจัยที่ส่งมีผลต่อโครงสร้างของฟิล์ม การเคลือบโดยไม่ให้ความร้อนได้ฟิล์มที่มีโครงสร้างอสัณฐานและผลึกเมื่อวิเคราะห์ฟิล์มที่โครงสร้างเป็นผลึกด้วย XRD พบว่ารังสีเลี้ยงบนเข้มมากที่มุม $2\theta = 33^\circ$ ซึ่งอาจเป็นรังสีเลี้ยงจาก ranan (100) ที่มีระยะห่าง ranan $d_{100} = 2.69 \times 10^{-10}$ รังสีเลี้ยงบนเข้มมากที่มุมนี้แสดงให้เห็นว่าโครงสร้างมีความเป็นระเบียบสูง ต่างจากฟิล์มที่เป็น อสัณฐานซึ่งพบรังสีเข้มพอ ๆ กันที่หลามุม การเคลือบโดยใช้ไนโตรเจน 60% พร้อมกับให้ความร้อนแก่แพ่นซิลิกอน (อุณหภูมิ 200°C) ได้ฟิล์มที่โครงสร้างเป็นระเบียบสูงและเป็นผลึกมากกว่าฟิล์มที่ได้จากการเคลือบโดยไม่ให้ความร้อนที่อัตราส่วนของไนโตรเจนเดียว กัน

Zhang et al. (2005) สนใจการประยุกต์ใช้อลูมิเนียมในไตรค์เป็นชั้นรองพื้นในกระบวนการสร้างอุปกรณ์ไฟฟ้ากำลังและความถี่สูง และ ได้ใช้รีแอคติฟดีซี แมกนีตรอนสปัตเตอริ่ง เคลือบอลูมิเนียมบนซิลิกอน ranan (111) และ ranan (100) โดยใช้กำลังการคาบประจุต่างกัน จากข้อมูล XRD พบว่าฟิล์มบนซิลิกอน (111) ประกอบด้วยรังสีเลี้ยงบนจากรานาน (002) ยอดนี้ค่า FWHM น้อยกว่ายอดที่ได้จากรานานเดียว กันของฟิล์มบนซิลิกอน (100) เมื่อวิเคราะห์ด้วยการสั่นด้วย FTIR (Fourier Transform Infrared Spectroscopy) พบว่าความเค้นของฟิล์มที่เคลือบบนซิลิกอน ranan (111) มีค่าน้อยกว่าฟิล์มบนซิลิกอน (100) ค่าความเค้นนี้เป็นผลจากความเข้ากันไม่ได้ระหว่างโครงผลึกของฟิล์มและวัสดุรองรับ และ พบว่าความเค้นของฟิล์มบนซิลิกอน (111) ขึ้นอยู่กับกำลังการคาบประจุอย่างมาก ความเค้นนี้เกิดจากความไม่สมบูรณ์ และความเข้ากันไม่ได้ระหว่างสมบูติกาความร้อนของฟิล์มและวัสดุรองรับ

Venkataraj, Severin, Drese, Koerfer, and Wuttig (2006) ได้ใช้รีแอคติฟดีซี แมกนีตรอน สปัตเตอริ่ง เคลือบอลูมิเนียมในไตรค์บันซิลิกอน ranan (100) และแก้ว โดยแบรค่าอัตราไหลดแก๊สในไตรค์ในช่วง 0 ถึง 8 sccm และ รักษาความดันขณะเคลือบไว้ที่ 8×10^{-3} mbar โดยปล่อยแก๊สอาร์กอนเข้าไปชดเชยด้วยอัตราไหลดที่เหมาะสม จากเทคนิค RBS พบว่าฟิล์มที่ได้จากการเคลือบที่อัตราการไหลดของไนโตรเจน 4.75 sccm มีสัดส่วนของธาตุเป็น Al_xN_y และจากข้อมูล XRD พบว่าฟิล์มเริ่มเป็นผลึกที่อัตราการไหลด 4.75 sccm ขึ้นไป จากการวิเคราะห์スペกตรัมการส่องผ่านแสง และวิธี Ellipsometry พบว่าฟิล์มอลูมิเนียมในไตรค์มีค่าดัชนีหักเหของแสงที่ความยาวคลื่น 533 nm ประมาณ 1.9

Figueroa, Salas, and Osegueda (2005) ใช้วิธีรีแอคตีฟดีซีแมกนีตรอนสปีกเตอร์ิงเคลือบอลูминีียมในไตรค์บอนอลูมิเนียมอัลลอย (7076-T6) ที่ร่องพื้นด้วยฟิล์มที่แตกต่างกันสามชนิดคือฟิล์มโครเมียม ฟิล์มไททาเนียม และฟิล์มอลูมิเนียม เพื่อศึกษาผลของความดันขณะเคลือบและชนิดของฟิล์มรองพื้นจากการสังเกตด้วยตาเปล่าพบว่าการรองพื้นด้วยไททาเนียมและอลูมิเนียมทำให้ฟิล์มอลูมิเนียมในไตรค์ขิดเกราะ ได้ดีกว่ารองพื้นด้วยโครเมียม ภาพตัดขวางของพื้นผิวของฟิล์มอลูมิเนียมในไตรค์ที่ได้จาก SEM แสดงให้เห็นว่าฟิล์มที่ได้มีโครงสร้างเป็นคลอลัมนานยอดแหลมคล้ายโคมเรียงตัวกันสองแบบคือ Z1 และ ZT (Tronton et al., 1989) ฟิล์มที่ใช้รองพื้นมีผลต่อการเรียงตัวนี้ คลอลัมนานของฟิล์มอลูมิเนียมในไตรค์ที่เคลือบบนฟิล์มรองพื้น โครเมียมและไททาเนียม (โครงสร้างแบบ ZT) กว่าคลอลัมนานของฟิล์มที่เคลือบบนฟิล์มรองพื้นเหล่านี้ปรากฏโครงสร้างชั้นของคลอลัมนานนี้ชั้นสุดท้ายหนาที่สุด ภาพถ่ายด้านบนจาก SEM แสดงให้เห็นลักษณะผิวมีรอยขุนรูปครึ่งวงกลมซึ่งเกิดจากคลอลัมนานทางคลอลัมนานการเรียงตัวในระนาบ (002) (Figueroa et al., 2004) ขนาดของรอยขุนนี้เพิ่มตามความดันขณะเคลือบ เช่นเดียวกับความหนาของผิวที่เพิ่มตามความดันขณะเคลือบ เมื่อเคลือบที่ความดันต่ำ ได้ฟิล์มบางและผิวเรียบกว่าเคลือบที่ความดันสูง สเปกตรัม XRD ที่ได้จากห้องสิบสองตัวอย่างปรากฏยอดในตำแหน่งที่สอดคล้องกับโครงสร้างพลิกแบบ Wurtzite และแสดงให้เห็นว่าเป็นพลิกที่เรียงตัวแบบผสมคือเรียงอยู่ในระนาบ (101) (100) และ (002) ระนาบเหล่านี้มีสัดส่วนพอ ๆ กันไม่มีระนาบใดเด่นชัด สัดส่วนของระนาบที่เหล่านี้เปลี่ยนตามความดันขณะเคลือบสเปกตรัม XRD ของฟิล์มที่เคลือบด้วยความดันสูง (0.8×10^{-3} mbar) ปรากฏยอดที่แสดงว่ามีอลูมิเนียมอยู่ในเนื้อฟิล์ม

Moreira, Doi, Souza, and Diniz (2010) ได้เคลือบอลูมิเนียมในไตรค์บันซิลิกอนระนาบ (100) โดยใช้วิธีรีแอคตีฟดีซีแมกนีตรอนสปีกเตอร์ิงในบรรยากาศของแก๊สผสมระหว่างในไตรเจน กับอาร์กอน พบว่าสามารถเคลือบให้เกิดฟิล์มอลูมิเนียมระนาบ (002) ที่มีผิวหยาบเนื้อยโดยความคุณความเชี่ยวของแก๊สในไตรเจนและกำลังที่เป็นและสามารถเคลือบฟิล์มที่มีลักษณะเช่นนี้ได้เร็วถึง 70 nm/min นอกจากนี้ยังพบอีกว่าการเพิ่มกำลังที่เป็นทำให้การในไตรค์อลูมิเนียมไม่สมบูรณ์ (ปรากฏไฟของอลูมิเนียมในสเปกตรัม XRD ของฟิล์ม)

Auger, Vazquez, Jergel, Sanchez, and Albelia (2006) ได้ใช้วิธีรีแอคติฟ ดีซี แมกนีตรอนสปัตเตอริง เคลือบอลูมิเนียมในไตรด์ลงบนชิลิกอนระนาบ (100) ที่อัตราการเคลือบ 5 nm/min โดยใช้เวลาเคลือบนานไม่เท่ากัน สเปกตรัม XRD แสดงให้เห็นว่าฟิล์มทั้งหมดที่ได้จากการเคลือบเป็นผลึกหกเหลี่ยม (Polycrystalline) เมื่อนำมาค่าความหยาบ σ จากข้อมูล AFM และเวลาในการเคลือบมากวิเคราะห์พบว่า ความหยาบมีความสัมพันธ์กับเวลาสองแบบ คือ ในช่วงเวลาเริ่มเคลือบจนถึงนาทีที่ 40 ความหยาบแปรผันตรงกับเวลา สเปกตรัม XRD ของฟิล์มที่ได้จากการเคลือบในช่วงเวลาเดียวกันแสดงให้เห็นว่าเริ่มนิรณะ (002) ในช่วงเวลาหลัง 40 นาทีจนถึงนาทีที่ 200 ความหยาบผิวสัมพันธ์กับเวลาในแบบที่ไม่เป็นเชิงเส้นคือ $\sigma = 0.37$ สเปกตรัม XRD ของฟิล์มที่ได้จากการเคลือบในช่วงเวลาเดียวกันแสดงให้เห็นว่าระนาบ (002) เพิ่มมากขึ้น ผลการวิเคราะห์ XRD และ AFM แสดงให้เห็นว่าในระหว่างการเคลือบฟิล์มโดยสองแบบ ในช่วงต้น (< 40 นาที) เป็นการโตแบบไม่เสถียร ความหยาบเพิ่มขึ้นเร็วกว่าในช่วงเวลาหลัง (> 40 นาที) ซึ่งเป็นการโตแบบเสถียร ลักษณะของการโตที่กล่าวมานี้มีความเชื่อมโยงกับความเป็นผลึกของฟิล์ม

Khoshman and Kordesch (2005) ศึกษาการวัดและการวิเคราะห์ค่าคงที่ทางแสงและคุณสมบัติโพลาไรซ์ของฟิล์มบางอลูมิเนียมในไตรด์ที่มีโครงสร้างแบบสัมฐาน ($a\text{-AlN}$) ที่เคลือบด้วยวิธี อาร์เอฟ รีแอคติฟ แมกนีตรอน สปัตเตอริง บนแผ่นชิลิกอน (111) และกระจกที่เป็นวัสดุรองรับ ค่าคงที่ทางแสงวิเคราะห์จาก Ellipsometric spectra ที่ความยาวคลื่น $300 - 1400 \text{ nm}$ โดยใช้ Cauchy-Urbach Model จากการทดลองพบดัชนีหักเหและสัมประสิทธิ์การดับสูญของฟิล์มมีค่าอยู่ในช่วง $1.80 - 2.11$ และ $8.6 \times 10^{-3} - 1.5 \times 10^{-5}$ ตามลำดับ การวิเคราะห์ของค่าสัมประสิทธิ์การดูดกลืนในช่วงความยาวคลื่น $200 - 1400 \text{ nm}$, แทนพลังงานของฟิล์มบางที่มีโครงสร้างแบบ $a\text{-AlN}$ มีค่าเท่ากับ $5.84 \pm 0.05 \text{ eV}$ จากนั้นการสะท้อนแสงของ P-Polarized อนุมานนุม Brewster เท่ากับ 61° และมุมหลักเท่ากับ 64° การวัดคุณสมบัติโพลาไรซ์พบว่ามีค่าการส่งผ่านแสงสูงและดูดกลืนแสงต่ำมากในช่วงแสงที่ตามองเห็นและอินฟราเรดใกล้สำหรับฟิล์มบางที่มีโครงสร้างแบบ $a\text{-AlN}$ ส่วนการวิเคราะห์ด้วย XRD ได้ยืนยันลักษณะโครงสร้างแบบสัมฐานของฟิล์มที่ศึกษา

Lee, Placido, Cochran, and Kirk (2002) ศึกษาฟิล์มบางอลูมิเนียมในไตรด์ที่เคลือบบนกระจกที่เป็นวัสดุรองรับด้วยวิธี อาร์เอฟ แมกนีตรอน สปัตเตอริง ชั้นมีรูปแบบ (002) 強く จากการวิเคราะห์ด้วย XRD แสดงให้เห็นว่าฟิล์มบางอลูมิเนียมในไตรด์ระนาบ (002) Preferred Orientation ส่วนระนาบอื่น ๆ เริ่มเกิดขึ้นเมื่อฟิล์มที่เคลือบได้มีความหนาเพิ่มขึ้น ก็เริ่มนิรณะอื่น ๆ เกิดขึ้น ลักษณะพื้นผิวของ c-axis Texture ของฟิล์มบางอลูมิเนียมในไตรด์วิเคราะห์ด้วย SEM ค่าสัมประสิทธิ์ของ d_{33} ฟิล์มบางอลูมิเนียมในไตรด์วัดโดยใช้ Piezoresponse Microscopy โดยมีค่าเท่ากับ $15 : 08 \text{ pm/V}$

Joo, Kim, Kim, and Kim (2000) ฟิล์มบางอลูมิเนียมในไตรค์ที่เคลือบบน SiO_2/Si ที่เป็นวัสดุรองรับด้วยวิธี อาร์เอฟ แมกนิตรอน สปัตเตอริง ถูกศึกษาด้วยเครื่อง Spectroscopic Ellipsometry (SE) ด้ชนีหักเหและความหนาแต่ละชั้นถูกวิเคราะห์จาก Spectroscopic Ellipsometry ด้วย Multi-Layer Model และ Effective Medium Approximation ซึ่งเป็นการวิเคราะห์แบบไม่ทำลายชั้นฟิล์มของฟิล์มที่มีหลายชั้น ที่มีความหนารวมแล้วมากถึง 2.5 μm ด้ชนีหักเหของฟิล์มบางอลูมิเนียมในไตรค์อยู่ในช่วงของ 1.98 - 2.15 ซึ่งเป็นค่าสำหรับฟิล์มอลูมิเนียมในไตรค์ที่มีโครงสร้างแบบ Polycrystalline ข้อตีระหัวงผลของ Spectroscopic Ellipsometry กับ XRD, AFM, และ SEM เกี่ยวกับโครงสร้าง ความหยาบผิว และความหนาของฟิล์ม ถูกยืนยันด้วยเครื่อง Spectroscopic Ellipsometry

Shukla and Khare (2008) ศึกษาความสัมพันธ์ของความดันของแก๊สในไตรเจนต่อโครงสร้างหลักและพื้นผิวของฟิล์มบางอลูมิเนียมในไตรค์ที่เคลือบด้วยวิธี Pulsed Laser โดยใช้เป้าอลูมิเนียมในบรรยายกาศแก๊สในไตรเจน ที่อุณหภูมิห้อง ฟิล์มที่เคลือบได้จัดเรียงด้วย AFM, SEM, XRD, และ FTIR สำหรับศึกษาโครงสร้างและลักษณะพื้นผิวของฟิล์ม จากผลการวิจัยพบว่าที่ความดันแก๊สในไตรเจนสูง ๆ ฟิล์มบางอลูมิเนียมในไตรค์ขอบที่จะเกิดระนาบ (101) ในขณะที่ความดันแก๊สในไตรเจนต่ำ ๆ ฟิล์มบางอลูมิเนียมในไตรค์ขอบที่จะเกิดระนาบ (002) อย่างไรก็ตาม PL Spectra ของฟิล์มบางอลูมิเนียมในไตรค์ที่เคลือบด้วยวิธี Pulsed Laser สัมพันธ์กับโครงสร้างหลักและเวลาที่เคลือบ สรุปแล้วความดันของแก๊สในไตรเจนมีผลต่อ FTIR Spectra ของฟิล์มบางอลูมิเนียมในไตรค์